

UNIVERZA V LJUBLJANI  
FAKULTETA ZA FARMACIJO

KAJA LENARČIČ

MAGISTRSKO DELO

**DOLOČANJE VSEBNOSTI ANALOGOV BISFENOLA A V ODPADNIH VODAH**

ENOVITI MAGISTRSKI ŠTUDIJSKI PROGRAM FARMACIJA

LJUBLJANA, 2018

UNIVERZA V LJUBLJANI  
FAKULTETA ZA FARMACIJO

KAJA LENARČIČ

MAGISTRSKO DELO

**DOLOČANJE VSEBNOSTI ANALOGOV BISFENOLA A V ODPADNIH VODAH**

DETERMINATION OF CONCENTRATION OF BISPHENOL A ANALOGUES IN  
WASTEWATERS

ENOVITI MAGISTRSKI ŠTUDIJSKI PROGRAM FARMACIJA

LJUBLJANA, 2018

Magistrsko naložko sem opravljala na Institutu Jožefa Stefana pod mentorstvom prof. dr. Marije Sollner Dolenc, mag. farm., in somentorstvom prof. dr. Ester Heath. Priprave vzorcev in GC-MS meritve smo opravili na Institutu Jožefa Stefana na Odseku za Znanosti o okolju.

Mentorici, prof. dr. Mariji Sollner Dolenc, se iskreno zahvaljujem za vso pomoč, usmerjanje, spodbude in potrpežljivost, prav tako pa tudi somentorici prof. dr. Ester Heath, za vso potrpežljivost, spodbudo in praktične nasvete. Zahvala gre tudi dr. Marjeti Česen za neskočno potrpežljivost, predvsem takrat, ko nisem bila čisto prepričana v svoje delo, in za vse preglede magistrske naloge med pisanjem, resnično hvala. Upam, da nisem bila preveč tečna! Hvala tudi Tjaši, Anji in Jasni, saj sploh ne vem, če boste videle to, ampak ste mi polepšale marsikateri dan na Institutu! Also, Marianthi, I also doubt you'll ever see that, but thanks for everything and I miss you! Also so much thanks to dr. David John Heath for helping with english abstract revision!

Največja zahvala gre mojim staršem, brez katerih zagotovo ne bi prišla tako daleč. Hvala za vso finančno podporo, za vse pogovore, ko sem bila čisto na dnu in nisem bila prepričana, ali sem izbrala pravi študij, za vse nasvete (čeprav jih večinoma nisem poslušala), vse spodbudne besede, hvala, ker sta vedno verjela vame in ker me vedno podpirata.

Seveda velika zahvala gre tudi preostali družini, za vso spodbudo in za nenehno opominjanje, da naj že končno dokončam magistrsko delo, sicer iz tega res ne bi bilo nič, pa da vseeno niste preveč spraševali, kdaj bo kaj.

Res neizmerna hvala vsem mojim prijateljem; hvala vam za vse pogovore, tudi, ko nisem vedela, kako in kaj, za vso spodbudo in potrpežljivost, hvala, ker ste vedno, ampak res vedno, verjeli vame in mi stali ob strani; hvala vam, ker ste takšni, kot ste, izjemni.

Izjavljam, da sem magistrsko nalogu samostojno izdelala pod mentorstvom prof. dr. Marije Sollner Dolenc, mag. farm., in somentorstvom prof. dr. Ester Heath.

Ljubljana, 2018

Kaja Lenarčič

## POVZETEK

Bisfenol A (BPA) in njegovi analogi spadajo v skupino spojin, ki jih imenujemo motilci endokrinega sistema. To pomeni, da jih hormonski receptorji prepoznaajo kot endogene ligande, kar lahko povzroči škodo, saj je endokrini sistem med drugim odgovoren za uravnavanje metabolizma, telesne mase, krvnega tlaka, imunskega odziva in spolnih funkcij.

BPA je bil prvič sintetiziran leta 1891, njegova industrijska uporaba pa se je pričela po letu 1950 kot monomer polikarbonatne plastike, ki se danes v veliki količini uporablja kot ovojnina, pa tudi za izdelavo epoksidnih premazov konzerv in pločevink za živila. Ker se je izkazalo, da je BPA motilec endokrinega sistema, so se na tržišču pojavili kot njegova zamenjava številni analogi (npr. bisfenol F (BPF) in bisfenol S (BPS)), vendar njihov učinek na endokrini sistem še ni jasno opredeljen. Pregled literature je pokazal prisotnost BPA, BPAF, BPE, BPF in BPS v odpadnih vodah. BPZ in BPC sta v literaturnem pregledu zelo slabo zastopana, še posebej BPC, ki je le redko vključen v raziskave, pa naj bodo to raziskave njegovih učinkov ali pa preverjanje njegovih koncentracij v okolju.

V okviru magistrske naloge smo se osredotočili na določitev prisotnosti izbranih analogov BPA, BPAF, BPAP, BPB, BPC, BPE, BPF, BPS in BPZ v slovenskih odpadnih vodah. V ta namen smo analizirali vtoke in iztoke petih slovenskih čistilnih naprav (Ljubljana, Domžale – Kamnik, Golnik, Novo mesto in Šaleška dolina). V primeru centralnih čistilnih naprav Ljubljana in Domžale – Kamnik smo analizirali še 23 dotokov iz različnih industrijskih obratov, v primeru CČN Domžale – Kamnik pa smo analizirali še vzorce dotokov z dovozi odpadne vode s cisternami iz industrijskih obratov brez lastnih čistilnih naprav.

Za pripravo vzorca smo uporabili ekstrakcijo na trdnih nosilcih, nakar smo vzorce še spirali, koncentrirali in derivatizirali. Ekstrakcijo in derivatizacijo smo pred analizo realnih vzorcev optimizirali. Za separacijo smo uporabili plinsko kromatografijo, kot detekcijo pa masno spektrometrični detektor (GC-MSD). Metodo smo validirali po FDA smernicah in z njo pomerili koncentracije analogov BPA v 47 vzorcih odpadnih vod.

Rezultati naše preiskave so pokazali vsebnost vseh izbranih analogov v vzorcih odpadne vode. Najvišjo vsebnost med analiziranimi alternativami BPA je imel BPC s 388 ng/L, v

vtokih z dovozi pa BPZ s 403 ng/L. V iztokih so bile vsebnosti analogov BPA v večini vzorcev pod mejo detekcije (LOD), v najvišji koncentraciji je bil določen BPZ s 85,7 ng/L. Vzorci iz čistilnih naprav iz Novega mesta, Šaleške doline in Golnika vsebujejo veliko nižje koncentracije bisfenolov kot pa vzorci iz čistilnih naprav Ljubljana in Domžale – Kamnik, v najvišji koncentraciji je bil določen BPF (6,15 ng/L) v vzorcu enega vtoka. V vzorcih iztokov teh treh čistilnih naprav so bile nad LOD samo koncentracije BPB, BPE in BPAP. Izračunali smo tudi odstotke odstranitve spojin za vse čistilne naprave. Za večino čistilnih naprav je bil odstotek odstranitve spojin zelo visok, tj. nad 90 %.

Vzorčili smo tudi iztoke iz industrijskih obratov na CČN Ljubljana in CČN Domžale – Kamnik. V najvišji koncentracijah smo določili BPC (2558 ng/L) v vzorcu iztoka tovarne mesnin, BPF (958 ng/L) v vzorcu iztoka kemične čistilnice oblačil in BPZ (403 ng/L) v vzorcu iztoka zbirnega centra odpadkov.

**Ključne besede:** bisfenoli, odpadna voda, plinska kromatografija, masna spektrometrija

## ABSTRACT

Bisphenol A (BPA) and its' analogues are part of a group of compounds, called Endocrine Disrupting Compounds (EDCs). This means, that hormone receptors mistakenly recognize them as endogenous ligands. This can create lots of problems, because endocrine system among other things regulates metabolism, weight, blood pressure, immune response and sexual functions.

BPA has been synthesized for the first time in 1891, its industrial application began in 1950. His most known use is as monomer unit in the production of polycarbonate plastic, which is used as plastic packaging. It is also used in the production of the epoxy resin coating on the inside of food cans. Because BPA is an endocrine system disruptor, several new substitutes have emerged, (for example bisphenol F (BPF) and bisphenol S (BPS)), but their effect on the endocrine system is not yet clearly understood. Literature research has shown presence of BPA, BPAF, BPE, BPF and BPS in wastewater. It also reveals that BPZ and BPC are poorly researched, especially BPC that is rarely included in studies regarding both its presence in the environment and of its effects on endocrine system.

In frame of our masters thesis we have focused on determining the presence of selected analogues of BPA (BPAF, BPAP, BPB, BPC, BPE, BPF, BPS and BPZ) in Slovenian wastewaters. To this end we analysed influents and effluents of 5 slovenian wastewater treatment plants (WWTP: Ljubljana, Domžale – Kamnik, Golnik, Novo mesto and Šaleška dolina). In case of central wastewater treatment plants (CWWTP: Ljubljana and Domžale – Kamnik we also analysed 23 inflows from various industrial plants and in case of CWWTP Domžale – Kamnik also samples of influents that include wastewater that is driven to CWWTP with cisterns from industrial plants without their own WWTP.

As sample preparation we applied solid phase extraction (SPE), followed by concentration and derivatization. We optimized them both before analysing real samples. For separation we used gas chromatography and we used mass spectrometry for detection (GC-MSD). We validated the method with FDA standards and then measured concentrations of BPA analogues in 47 samples of wastewaters.

In our analysis we detected all BPA analogues. Highest concentration of BPA alternatives in influents was concentration of BPC with 388 ng/L, while for influents with inflows from local industrial plants highest concentration was that of BPZ with 403 ng/L. In effluents

most concentrations of BPA analogues were below LOD, except in one sample, where concentration of BPZ was 85,7 ng/L. Samples from WWTPs Novo mesto, Šaleška Dolina and Golnik show much lower concentrations of bisphenols than in the samples from CWWTPs Ljubljana and Domžale – Kamnik. Highest concentration of all bisphenols in those three WWTPs was detected for BPF (6,15 ng/L) in one influent. In effluents for those three WWTPs only BPB, BPE and BPAP were present in concentrations above the LOD. We also calculated % of removal for all WWTPs. For the majority of WWTPs, the percentage of removal was high (> 90 %).

We also sampled inflows from various industrial plants at the WWTPs Ljubljana and Domžale – Kamnik. In surprisingly high concentrations we detected BPC (2558 ng/L) in effluent sample from a meat processing factory, BPF (958 ng/L) in effluent sample from dry-cleaning facility and BPZ (403 ng/L) in effluent sample from a recycling facility.

**Keywords:** bisphenols, wastewater, gas chromatography, mass spectrometry

## SEZNAM OKRAJŠAV

$AO_{t1/2}$	razpadni čas spojine, podvržene atmosferski oksidaciji
BPA	bisfenol A
BPAF	bisfenol AF
BPAP	bisfenol AP
BPB	bisfenol B
BPC	bisfenol C
BPE	bisfenol E
BPF	bisfenol F
BPS	bisfenol S
BPZ	bisfenol Z
BAF	biološko akumulacijski faktor
BCF	biološko koncentracijski faktor
BLYES	bioluminescenčni test na kvasovkah
CČN	centralna čistilna naprava
CČN DK	Centralna čistilna naprava Domžale – Kamnik
CČN LJ	Centralna čistilna naprava Ljubljana
CWWTP	central wastewater treatment plant
ČN	čistilna naprava
ČN G	Čistilna naprava Golnik
ČN NM	Čistilna naprava Novo mesto
ČN ŠD	Čistilna naprava Šaleška dolina
dBPA-d <sup>16</sup>	devterirani bisfenol A
DCM	diklorometan
EtAc	etilacetat
EI	elektronska ionizacija
ER	estrogenski receptor
ER $\alpha$	estrogenski receptor alfa
ER $\beta$	estrogenski receptor beta
ERR gama	estrogenski receptor gama
GC	plinska kromatografija
GC-MS	plinska kromatografija, sklopljena z masno spektrometrijo
GSH	glutation
HPLC	tekočinska kromatografija visoke ločljivosti
LC	tekočinska kromatografija
LC-MS	tekočinska kromatografija, sklopljena z masno spektrometričnim detektorjem
LOD	limita detekcije
LOQ	limita kvantifikacije
LOEC	najnižja koncentracija, pri kateri je opažen merljiv učinek
$\log K_{oc}$	logaritem porazdelitvenega koeficiente med vodo in organskim ogljikom v zemlji
$\log K_{ow}$	logaritem porazdelitvenega koeficiente med oktanolom in vodo
MeOH	metanol
MS	masna spektrometrija
MTBSTFA	N-terc-butildimetilsilil-N-metiltrifluoroacetamid
NADPH	nikotinamid adenin dinukleotid fosfat

pKa	disociacijska konstanta kisline
RSD	relativna standardna deviacija
S-PEKES	sulfoniran poli(eter keton eter sulfon)
SERM	selektivni modulator estrogenskih receptorjev
SIM	metoda spremljanja posameznega iona
SPE	ekstrakcija na trdnih nosilcih
<i>t</i> -BDMCS	terc-butildimetilklorosilan
T <sub>r</sub>	retencijski čas spojine

# VSEBINSKO KAZALO

ABSTRACT .....	vi
SEZNAM OKRAJŠAV .....	viii
VSEBINSKO KAZALO .....	x
KAZALO SLIK .....	xi
KAZALO PREGLEDNIC .....	xii
1. UVOD .....	1
1.1. Endokrini sistem in motilci endokrinega sistema .....	1
1.2. BPA in nadomestki bisfenola A .....	3
1.3. Sledovi analogov bisfenola A v okolju .....	13
1.4. Določanje vsebnosti analogov bisfenola A v odpadnih vodah .....	14
2. NAMEN DELA .....	16
3. MATERIALI IN METODE .....	17
3.1. Materiali .....	17
3.1.1. Standardi merjenih spojin, topila in ostale kemikalije .....	17
3.1.2. Pribor in aparature .....	18
3.2. Metode dela .....	19
3.2.1. Priprava raztopin standardov merjenih spojin .....	19
3.2.2. Postopek priprave vzorcev za GC-MS .....	20
3.2.3. Vzorčenje realnih vzorcev .....	24
3.2.4. Validacija analizne metode za določanje vsebnosti analogov bisfenola A v odpadni vodi .....	28
4. REZULTATI IN RAZPRAVA .....	31
4.1. Optimizacija postopka za analizo vzorcev z GC-MS .....	31
4.1.1. Optimizacija SPE .....	31
4.1.2. Optimizacija derivatizacije .....	31
4.2. Validacija analizne metode .....	33
4.3. Določanje vsebnosti analogov BPA v realnih vzorcih odpadnih vod .....	36
4.3.1. Odpadne vode, ki izvirajo iz mesne, živilske, farmacevtske in splošne industrije ter zdravstvenih domov .....	36
4.3.2. Vtoki in iztoki CČN .....	40
5. SKLEP .....	48
VIRI .....	50

## KAZALO SLIK

Slika 1: Endokrine žleze v človeškem telesu – prirejeno po (2) .....	1
Slika 2: Endogeni estrogeni – prirejeno po (3) in (4).....	2
Slika 3: Shema injektorja v plinskem kromatografu - prirejeno po (76).....	15
Slika 4: Shema GC-MS – prirejeno po (77).....	15
Slika 5: Strukturna formula dBPA-d16. ....	17
Slika 6: Kadička za ekstrakcijo na trdnih nosilcih (SPE) .....	19
Slika 7: Shema postopka SPE in GC-MS. ....	21
Slika 8: Prikaz reakcije derivatizacije preiskovanih spojin na primeru BPA.....	22
Slika 9: Zemljevid lokacij čistilnih naprav – prirejeno po (78) .....	25
Slika 10: Shema pritokov industrij na CČN Ljubljana in CČN Domžale – Kamnik.....	26
Slika 11: MTBSTFA in <i>t</i> -BDMCS.....	32
Slika 12: Odstranjevanje posameznih spojin med postopkom čiščenja na CČN DK.....	46

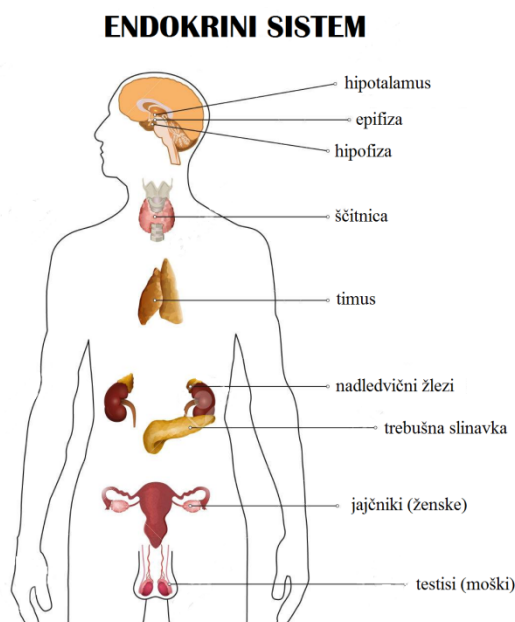
## KAZALO PREGLEDNIC

Preglednica I: Učinki BPA kot motilca endokrinega sistema, njegov metabolizem ter razgradnja .....	4
Preglednica II: Učinki BPAF kot motilca endokrinega sistema, njegov metabolizem ter razgradnja .....	7
Preglednica III: Učinki BPB kot motilca endokrinega sistema in njegov metabolizem.....	8
Preglednica IV: Učinki BPE kot motilca endokrinega sistema, njegov metabolizem in razgradnja .....	9
Preglednica V: Učinki BPF kot motilca endokrinega sistema, njegov metabolizem ter razgradnja .....	10
Preglednica VI: Učinki BPS kot motilca endokrinega sistema, njegov metabolizem ter razgradnja.....	11
Preglednica VII: Koncentracije analogov BPA v okoljskih in človeških vzorcih (velikostni razredi so podani glede na pričakovane izmerjene koncentracije) .....	13
Preglednica VIII: Imena spojin, proizvajalci, čistost in CAS kode spojin .....	17
Preglednica IX: Seznam steklovine in pribora.....	18
Preglednica X: Zatehte posameznih bisfenolov za pripravo standarda in pripadajoče koncentracije v bučkah.	19
Preglednica XI: Pogoji GC-MS analize .....	23
Preglednica XII: Temperaturni progam GC-MS analize .....	23
Preglednica XIII: Karakteristični ioni za derivatizirane spojine in retencijski časi (ion za kvantifikacijo je v odebelenem poševnem tisku) .....	24
Preglednica XIV: Značilnosti ČN .....	25
Preglednica XV: Oznake in opisi vzorcev pritokov industrijskih obratov (trenutni vzorci) .....	27
Preglednica XVI: oznake in opisi vzorcev za dotoke, iztoke in dotoke s privozi vseh petih čistilnih naprav (24-urni povprečni vzorci, razen LJ_Inf1 in LJ_Eff1) .....	28
Preglednica XVII: Odpipetirani volumni in koncentracije, uporabljene za kalibracijsko krivuljo.....	29
Preglednica XVIII: Ponovljivost metode .....	33
Preglednica XIX: Ponovljivost instrumenta .....	33
Preglednica XX: Točnost v % pri šestih različnih koncentracijah .....	34
Preglednica XXI: Koeficient premice, $R^2$ in n-vrednost za dve paraleli kalibracijske krivulje.....	34
Preglednica XXII: Izkoristek v %, SD in RSD.....	35
Preglednica XXIII: Določena LOD in LOQ za preiskovane spojine .....	36
Preglednica XXIV: Vsebnost preiskovanih spojin (ng/L) v dotokih industrije na CČN LJ .....	37
Preglednica XXV: Vsebnost preiskovanih spojin (ng/L) v dotokih industrije in zdravstvenih domov na CČN DK .....	37
Preglednica XXVI: Celokupne koncentracije (ng/L) preiskovanih spojin v pritokih na CČN LJ in CČN DK.....	39
Preglednica XXVII: CČN Ljubljana, trenutni vtok in iztok, 24-urni kompozitni vtok in iztok, % odstranitve spojine (koncentracije so v ng/L) .....	40
Preglednica XXVIII: Koncentracije spojin v vtokih, vtoki z dovozi in iztoki CČN DK (koncentracije so v ng/L)	42
Preglednica XXIX: Povprečne koncentracije spojin v vzorcih, odvzetih na različne dni v vtokih, vtokih s pritoki in iztokih, ter ustreznji RSD-ji (koncentracije so v ng/L, RSD v %).....	45
Preglednica XXX: Koncentracije spojin v vzorcih (koncentracije v ng/L), pridobljenih v vtokih in iztokih CČN NM, CČN ŠD in ČN G .....	47
Preglednica XXXI: Struktura formula in fizikalno-kemijske lastnosti BPA .....	60
Preglednica XXXII: Struktura formula in fizikalno-kemijske lastnosti BPAF .....	60
Preglednica XXXIII: Struktura formula in fizikalno-kemijske lastnosti BPAP .....	61
Preglednica XXXIV: Struktura formula in fizikalno-kemijske lastnosti BPB .....	61
Preglednica XXXV: Struktura formula in fizikalno-kemijske lastnosti BPC.....	62
Preglednica XXXVI: Struktura formula in fizikalno-kemijske lastnosti BPE .....	62
Preglednica XXXVII: Struktura formula in fizikalno-kemijske lastnosti BPF .....	63
Preglednica XXXVIII: Struktura formula in fizikalno-kemijske lastnosti BPS .....	63
Preglednica XXXIX: Struktura formula in fizikalno-kemijske lastnosti BPZ .....	64

## 1. UVOD

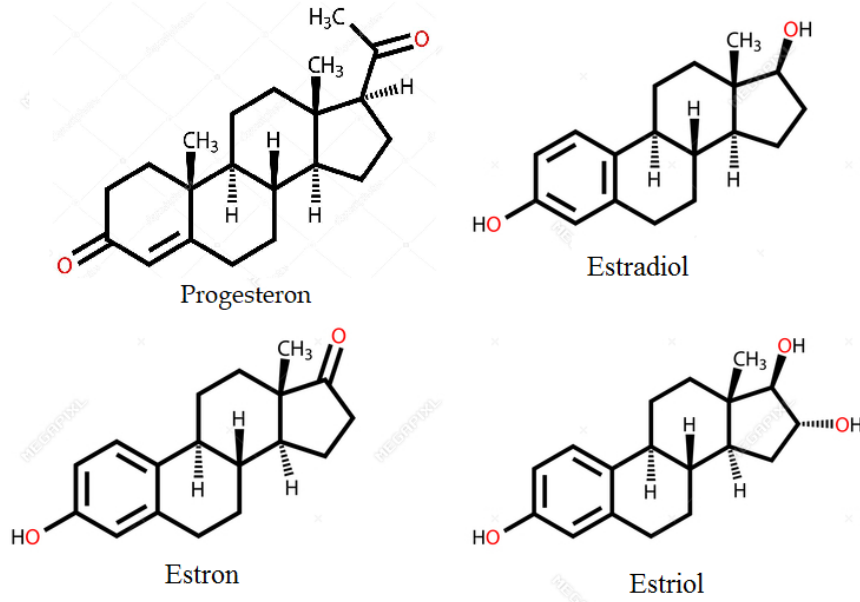
### 1.1. Endokrini sistem in motilci endokrinega sistema

V človeškem telesu sta dva pomembna komunikacijska sistema, to sta živčni sistem in endokrini sistem. Endokrini sistem preko izločanja hormonov iz endokrinskih žlez vpliva na mnogo procesov v telesu, med drugim na prebavo, uravnavanje krvnega tlaka, odziv imunskega sistema, hitrost metabolizma in razmoževanje (1). Glavne endokrine žleze v telesu so hipofiza, epifiza, hipotalamus, timus, nadledvični žlezi, ščitnica, trebušna slinavka, jajčniki pri ženskah in testisi pri moških (Slika 1) (2).



Slika 1: Endokrine žleze v človeškem telesu – pritejeno po (2)

Med endokrine hormone spadajo različne vrste hormonov, med drugim steroidni hormoni in tiroidni hormoni. Njihova vezava na ustrezeni (komplementarni) receptor sproži signalizacijo v hormonsko odzivnih celicah. Dve veliki skupini steroidnih endokrinskih hormonov sta estrogenska in androgenska. Estrogeni se pri ženskah izločajo iz jajčnikov, pri moških pa iz testisov. Čeprav poznamo vsaj 6 različnih estrogenov, so v ženskem telesu samo širje prisotni v omembe vredni koncentraciji, to so  $\beta$ -estradiol, estron, estriol in progesteron. (Slika 2) (3, 4). Uravnavajo rast in razvoj ženskih spolnih organov, sekundarnih spolnih znakov ter rast maternice v nosečnosti. Najbolj pomemben androgen je testosteron, ki je pri moških odgovoren za razvoj sekundarnih spolnih znakov (1).



Slika 2: Endogeni estrogeni – priznani po (3) in (4)

V skupino motilcev endokrinega sistema (po angleško endocrine disrupting chemicals – EDCs) uvrščamo spojine, ki so strukturno dovolj podobne endokriniim hormonom, da jih ustrezni receptorji napačno prepozna kot hormon, lahko pa tudi motijo sintezo, transport in metabolizem endokrinih hormonov. Steroidni skelet je sestavljen iz treh šestčlenskih in enega petčlenskega obroča (Slika 2) (3, 4), pomemben strukturni element, skupen z mnogimi endokriniimi motilci, pa je fenolni obroč. Endokrini motilci lahko na receptor delujejo kot agonist (na receptor delujejo kot sam hormon in s tem povzročijo pričakovan odziv), antagonist (vežejo se na receptor, s tem blokirajo vezavno mesto in hormonu preprečijo vezavo) ali delni agonist (vežejo se na receptor, vendar ne povzročijo učinka v isti meri, kot bi ga hormon, ki ga posnemajo) (1). To pa ni njihov edini mehanizem delovanja, saj med drugim vplivajo tudi na metabolizem maščob in preko tega povzročajo debelost, specifični molekulski mehanizem, preko katerega povzročajo rakave bolezni, pa še ni znan (5).

Raziskave vpliva na endokrini sistem se izvajajo predvsem na kvasovkah (7, 8), ribah zebričah (9, 10, 11, 12) in mišjih/človeških celičnih linijah (7, 13, 14, 15, 16). Endokrini motilci povzročajo reproduktivne nepravilnosti, različne vrste raka (med drugim rak na prsih) in moško neplodnost, vplivajo na tanjšanje jajčne lupine pri ptičih in spremembe gonad pri plazilcih (1). Večina raziskav bisfenolov preiskuje BPA in literaturni podatki kažejo, da bi BPA lahko bil vzrok za povečano razširjenost avtoimunih bolezni in

alergijskih obolenj tipa 1 (6), da je kloriran BPA akutno toksičen za ribe zebrike (11), ter da BPAF pri ribah vpliva na spolni razvoj zarodka (9, 10, 11, 12), kar so znanstvene raziskave pokazale tudi za BPF (12).

Zaradi zgoraj naštetega je zelo zaskrbljujoče dejstvo, da so endokrinim motilcem izpostavljeni tako ljudje kot živali, saj se nahajajo v okolju, med drugim v odpadnih in površinskih vodah, termalnem papirju (ki se med drugim uporablja za blagajniške račune), vsebnikih za shranjevanje hrane in celo v pitni vodi, kar podrobnejše predstavljamo v poglavju 1.2.

## **1.2. BPA in nadomestki bisfenola A**

Pod motilce endokrinega sistema spadajo različne skupine spojin, kot so ftalati, sintetični estrogeni in bromirani zaviralci gorenja (1). Eno najpomembnejših skupin endokrinih motilcev predstavljajo bisfenol A (BPA) in njegovi analogi. Strukturno sta za te spojine značilna dva fenolna obroča, povezana z metilenским mostičkom. Zgodovina uporabe bisfenolov se je začela z BPA, ki ima zelo raširjeno uporabo kot monomer v proizvodnji plastike (17, 18). Zaradi njegovih potencialnih vplivov na endokrini sistem, kot smo omenili v poglavju 1.1., so ga začeli nadomeščati z njegovimi analogi, predvsem z bisfenolom F (BPF) in bisfenolom S (BPS). To se je sprva zdeло kot dobra ideja, a se je kasneje izkazalo, da sta BPF in BPS v enaki meri oziroma še bolj škodljiva kot motilca endokrinega sistema (7, 8, 12, 14, 15, 19).

### **1.2.1. BPA**

Najbolj poznan in razširjen predstavnik bisfenolov je BPA, ki je bil prvič sintetiziran leta 1891, medtem ko je bil v strokovni literaturi prvič omenjen leta 1905 (20). Je monomer v proizvodnji fenolnih smol, poliakrilatov, poliestrov, epoksi smol in polikarbonatne plastike. Epoksi smole se uporabljajo kot laki, med drugim za stične površine med hrano in kovinsko ovojnino v konzervirani hrani, laki za avtomobilske dele, kovinske pokrove, zaščitni laki in prevleke za PVC pipe (17). Polikarbonatna plastika se uporablja v proizvodnji nosilcev zvoka, plastike za avtomobilske luči, gospodinjskih aparatov, ovojnин za hrano in plastenk (18). Prav tako se uporablja kot razvijalec papirja v termičnem papirju (21). Januarja leta 2015 je Evropska agencija za varnost hrane (angleško European Food Safety Authority, EFSA) znižala dovoljeno mejo varnega vnosa BPA s 50 µg/kg telesne mase na dan na 4 µg/kg telesne mase na dan (22), a se pripravlja že nov protokol določanja toksičnosti, ki bo objavljen v letu 2018. Trenutno je dovoljena meja

prehajanja BPA iz ovojnine hrane v hrano 0,05 mg BPA/kg hrane (23), znižano z 0,6 mg BPA/kg hrane iz leta 2011 (24).

Izbrane fizikalno-kemijske lastnosti BPA prikazuje Preglednica XXXI v Prilogi 1. Po vrsti so te lastnosti molska masa, disociacijska konstanta ( $pK_a$ ), topnost v vodi, koeficient porazdelitve med vodo in oktanolom ( $\log K_{ow}$ ), koeficient porazdelitve med organskim ogljikom v zemlji in vodo ( $\log K_{oc}$ ), ki pomeni razmerje koncentracije spojine v tleh/zemlji in koncentracije spojine v vodnem mediju, razpadni čas pod vplivom zraka (normalne atmosfere), biokoncentracijski faktor (BCF) in bioakumulacijski faktor (BAF).

Vse večja skrb glede toksičnosti BPA in njegovih analogov, posledica katere je znižanje tako dovoljene meje zaužitja BPA (22) kot tudi prehajanja spojine iz ovojnine hrane v samo hrano (23, 24), je posledica mnogih raziskav, ki so dokazale učinke na hormone endokrinega sistema *in vitro* in *in vivo*, prav tako pa tudi reproduktivne in druge nepravilnosti na preiskovanih organizmih, predvsem na ribah zebriah. V spodnji Preglednici I prikazujemo učinke BPA kot endokrinega motilca in njegov metabolizem.

**Preglednica I: Učinki BPA kot motilca endokrinega sistema, njegov metabolizem ter razgradnja**

<b>estrogenost BPA v splošnem</b>	<ul style="list-style-type: none"><li>- Estrogenost, izražena kot ekvivalent <math>17\beta</math>-etinil estradiola (1,2–1,3 EEQ), zmanjšana pod LOD po kloriranju BPA (25)</li><li>- kombinacija UV obsevanja in oksidacije z reaktivnimi kisikovimi zvrstmi zniža estrogenost BPA, samo UV obsevanje pa je ne zniža (50–100 x višja koncentracija UV kot pri običajni dezinfekciji) (26)</li><li>- ko je bila raztopina BPA podvržena oksidaciji z <math>UV/H_2O_2</math>, je prišlo do nastanka citotoksičnih produktov, pri testiranju vzorcev iz čistilnih naprav, v katerih je bilo čiščenje na podlagi ozoniranja, pa do nastanka citotoksičnih produktov ni prišlo (tekmovanje z drugimi spojinami) (16)</li><li>- testiranje estrogenosti <i>in vitro</i> v odpadnih vodah z uporabo testa BLYES je pokazalo, da je manj estrogen kot pa BPAF (8)</li><li>- v testiranju estrogenosti sedmih bisfenolov v aktivnem blatu je prispeval k skupni estrogenosti z 81 % (27)</li></ul>
-----------------------------------	--

<b>endokrino delovanje BPA</b>	<ul style="list-style-type: none"> <li>- **v virih z zaporednima številkama 18 in 20 je v raziskavah uporabljen H295R test steroidogeneze <i>in vitro</i>, ki se izvaja na celicah adenokarcinoma</li> <li>- ima estrogeno aktivnost, oksidiran BPA ne (16)</li> <li>- bioluminescenčni test na kvasovkah (BLYES) je pokazal, da je koncentracija potrebna za 50 % maksimalnega odziva (<math>EC_{50}</math>) <math>4,1 \times 10^3</math> nM (8)</li> <li>- zavira izločanje testosterona tako iz celic mišij kot iz celic človeških testisov (14)</li> <li>- zviša koncentracijo <math>17\beta</math>-estradiola (<math>EC_{50} = 14 \mu M</math>) (19, 21)</li> <li>- zviša koncentracijo prostega testosterona (<math>LOEC = 1 \mu M</math>) (21)</li> <li>- skoraj nima učinka na koncentracijo progestagena (<math>EC_{50} = 0,004 \mu M</math>) (19)</li> <li>- zniža koncentracijo celotnega testosterona (prostega in vezanega na plazemske albumine) (<math>EC_{50} = 3,2 \mu M</math>) (19)</li> <li>- zniža koncentracijo androgenov (<math>EC_{50} = 1,4; 3,1; 3,2 \mu M</math>) (19)</li> <li>- zniža raven kortizola (<math>EC_{50} = 73 \mu M</math>) (19)</li> <li>- ne vpliva na koncentracijo kortikosterona (19)</li> <li>- zviša raven estrogenov (<math>EC_{50} = 7,2; 14 \mu M</math>) (19)</li> <li>- zviša raven estrona (<math>EC_{50} = 7,2 \mu M</math>) (19)</li> </ul>
<b>vpliv BPA kot agonista/antagonista estrogenskih receptorjev</b>	<ul style="list-style-type: none"> <li>- nizka jakost vezave na <math>ER\alpha</math> in <math>ER\beta</math> (28)</li> <li>- je bolj selektiven za ERR gama, kot za <math>ER\alpha</math> in <math>ER\beta</math> (28)</li> <li>- je zelo šibek aktivator, tako za <math>ER\alpha</math> kot <math>ER\beta</math> (28)</li> </ul>
<b>metabolizem BPA</b>	<ul style="list-style-type: none"> <li>- pri čiščenju pitne vode se pogosto uporablja klor, pri kloriraju BPA nastane 21 različnih kloriranih derivatov, prav tako pa tudi bromirani derivati (25)</li> <li>- nekaj BPA je v človeškem urinu v obliki acetata (29)</li> <li>- je CYP3A4 substrat in podvržen oksidaciji (19)</li> <li>- glavni metabolit biotransformacije v človeških jetrnih mikrosomih (ob dodatku NADPH in GSH) je hidroksiliran BPA, ki se nato pretvori v glukuronid in se tako izloči iz telesa z urinom (30)</li> </ul>
<b>razgradnja BPA</b>	<ul style="list-style-type: none"> <li>- se oksidira pod vplivom <math>UV/H_2O_2</math> v p-hidroksiacetofenon, ki je bolj toksičen (16)</li> <li>- bolj podvržen biorazgradnji kot mehanizmu odstranjevanja (31)</li> <li>- mineralizacija pod vplivom <math>TiO_2</math></li> </ul>

	<p>fotokatalizatorja (32)</p> <ul style="list-style-type: none"> <li>- razpad v prisotnosti superoksidnega aniona (<math>O_2^-</math>) in hidroksilnega radikala (<math>OH\cdot</math>) (33)</li> </ul>
<b>genotoksičnost, toksičnost na organske sisteme, embriotoksičnost BPA</b>	<ul style="list-style-type: none"> <li>- povzroči poškodbe DNA že pri nizkih koncentracijah (4,36 µg/L) (13)</li> <li>- oksidirani produkti BPA (pod vplivom UV/<math>H_2O_2</math>) so citotoksični (16)</li> <li>- toksičen za <i>Vibrio fischeri</i>, vodne bolhe in ribe zembrice (12)</li> <li>- zaradi strukturnega elementa fenola, ki je znan uremični toksin (spojina, ki se kopiči pri obolenju ledvic), je potencialno toksičen za ledvice (34)</li> <li>- zniža ravni antioksidantnih encimov in zviša oksidativni stres v jetrih samic podgan in je na ta način hepatotoksičen (35)</li> <li>- koncentracije BPA med 300 in 500 µg/L povzročajo napake v razvoju okostja na zarodkih morskega ježka (<i>Paracentrotus lividus</i>), višje koncentracije povzročajo napake v zgodnjem razvoju zarodka, pri koncentraciji 3500 µg/L je smrtnost zarodkov 100 % (36)</li> </ul>

### 1.2.2. BPAF

Bisfenol AF (BPAF) je analog BPA, ki se strukturno razlikuje v zamenjavi dveh metilnih funkcionalnih skupin na metilenskem mostičku za trifluorometilni skupini. Uporablja se kot zamenjava BPA v proizvodnji polikarbonatnih kopolimerov, poliimidov, poliamidov, poliestrov, plastičnih optičnih vlaken in valovnih vodnikov (28). Strukturno formulo in fizikalno-kemijske lastnosti spojine (okrajšave razložene v podpoglavlju 1.2.1.) prikazuje Preglednica XXXII v Prilogi 1.

BPAF je manj razširjen kot BPA, zato je tudi predmet manjšega števila raziskav. Izkazalo se je, da so nanj zaradi  $-CF_3$  funkcionalne skupine dosti bolj občutljive vodne bolhe, ki se redno uporabljajo v raziskavah estrogenosti in genotoksičnosti (32). BCF in BAF sta skoraj 6 x višja kot pri BPA, kar pomeni večjo raven nalaganja v okolju in s tem povečan problem toksičnosti. Potencialna nova metoda odstranjevanja BPAF bi lahko bila adsorpcija na kroglice iz aktiviranega oglja in alginata z dodatkom cetiltrimetil amonijevega bromida, saj je v laboratorijskih pogojih hitra, preprosta in zanesljiva (37). Preglednica II prikazuje učinke BPAF kot endokrinega motilca in njegov metabolismem ter razgradnjo.

**Preglednica II: Učinki BPAF kot motilca endokrinega sistema, njegov metabolizem ter razgradnja**

<b>estrogenost BPAF v splošnem</b>	<ul style="list-style-type: none"> <li>- v <i>in vitro</i> eksperimentih na kvasovkah je bila relativna estrogenска aktivnost (glede na ultra čisto vodo) 81 %, dosti višja v primerjavi z BPF (33 %) in BPA (12 %) (32)</li> <li>- vpliva na steroidogenezo v ribah zebriah, kar bi se lahko kazalo na gametogenezi, spolen razvoju in razmnoževanju rib (10, 12)</li> <li>- v raziskavi estrogene aktivnosti vode iz čistilnih naprav je imel BPAF 13 % prispevek k skupni estrogenosti vseh preiskovanih bisfenolov (glejano na ekvivalent 17<math>\beta</math>-estradiola) (27)</li> <li>- v testiranju estrogenosti <i>in vitro</i> odpadnih vod je imel višji prispevek k ravni estrogenosti kot BPE in dosti višji kot BPF, BPS in BPA (8)</li> <li>- izkazuje višjo estrogenost v primerjavi z BPA v ribah zebriah <i>in vivo</i> in <i>in vitro</i> (11)</li> </ul>
<b>endokrino delovanje BPAF</b>	<ul style="list-style-type: none"> <li>- pod vplivom BPAF se zmanjša koncentracija tiroksina (T4) tako v vezani kot prosti obliki, kakor tudi trijodtironina (T3) v vezani in prosti obliki (9)</li> <li>- zelo poveča koncentracijo 17<math>\beta</math>-estradiola tako v samcih kot samicah rib zebri (10)</li> <li>- zelo zniža koncentracijo testosterona v samcih rib zebri (10)</li> </ul>
<b>vpliv BPAF kot agonista/antagonista estrogenskih receptorjev</b>	<ul style="list-style-type: none"> <li>- 20 x večja jakost vezave na ER<math>\alpha</math> v primerjavi z BPA (28)</li> <li>- 40 x večja jakost vezave za ER<math>\beta</math> v primerjavi z BPA (28)</li> <li>- selektiven za ER<math>\alpha</math> in ER<math>\beta</math> (28)</li> <li>- polni agonist ER<math>\alpha</math> med koncentracijami <math>10^{-10}</math> do <math>10^{-5}</math> M (28)</li> <li>- inhibira interakcijo med 17<math>\beta</math>-estradiolom in ER<math>\beta</math>, je močno selektiven antagonist ER<math>\beta</math> zaradi CF<sub>3</sub> skupin v stukturi (28)</li> </ul>
<b>metabolizem BPAF</b>	<ul style="list-style-type: none"> <li>- glavna primarna metabolita sta hidrosiliran BPAF in 4-heksafluorohidroksiizopropiliden-fenol (v človeških jetrnih mikrosomih ob dodatku NADPH in GSH) (30)</li> </ul>
<b>razgradnja BPAF</b>	<ul style="list-style-type: none"> <li>- je odporen na biorazgradnjo (31)</li> </ul>
<b>genotoksičnost, toksičnost za organske sisteme, embriotoksičnost BPAF</b>	<ul style="list-style-type: none"> <li>- kronična toksičnost za vodne bolhe (od 0,45 mg/L) (12)</li> <li>- za bakterije <i>Vibrio fischeri</i> primerljiva toksičnost</li> </ul>

	<ul style="list-style-type: none"> <li>- z BPA (<math>IC_{50}</math> po 30 minutah 4,2 in 4,8 mg/L) (12)</li> <li>- veliko bolj toksičen za ribe zebrice, kot pa BPA ali BPF (vse opazovane <math>EC_{50}</math> vrednosti pod 3,5 mg/L) (12)</li> <li>- zelo strupen za zelene alge, <math>IC_{50}</math> po 72 urah 3 mg/L v primerjavi z 19,6 mg/L (BPA) ali 22,1 mg/L (BPF) (12)</li> </ul>
--	---

#### 1.2.3. BPAP

Bisfenol AP (BPAP) je analog BPA, ki se od BPA razlikuje v dodatnem fenilnem obroču na metilenskem mostičku, kot kaže Preglednica XXXIII v Prilogi 1. Je še precej neraziskan analog BPA in o njem ni veliko podatkov, razen fizikalno-kemijskih lastnosti (Preglednica III v Prilogi 1) ter tega, da se uporablja kot zamenjava BPA in je motilec endokrinega sistema (38). Njegova prisotnost v okolju je obravnavana v poglavju 1.3.

#### 1.2.4. BPB

Bisfenol B (BPB) je analog BPA, ki ima na metilenskem mostičku eno metilno skupino zamenjano z etilno skupino. (Preglednica XXXIV v Prilogi 1). Uporablja se v proizvodnji epoksi smol (29) in je motilec endokrinega sistema. (19). Preglednica IV v Prilogi 1 prikazuje strukturno formulo in fizikalno-kemijske lastnosti. Pregled do zdaj opravljenih raziskav BPB kot motilca endokrinega sistema predstavlja Preglednica III.

#### Preglednica III: Učinki BPB kot motilca endokrinega sistema in njegov metabolizem

<b>endokrino delovanje BPB</b>	<ul style="list-style-type: none"> <li>- zviša koncentracijo progestagena (<math>EC_{50} = 8,2 \mu M</math>) (19)</li> <li>- minimalno vpliva na raven progesterona (19)</li> <li>- zviša koncentracijo testosterona, androstendiona, androstenolona (<math>EC_{50} = 10,8; 16,8; 3,8 \mu M</math>) (19)</li> <li>- zviša koncentracijo <math>17\beta</math>-estradiola in estrona (<math>EC_{50} = 13,4; 17,4 \mu M</math>) (19)</li> <li>- zniža raven kortizola (<math>EC_{50} = 11,8 \mu M</math>) (19)</li> <li>- zniža raven kortikosterona (<math>EC_{50} = 4,5 \mu M</math>) (19)</li> </ul>
<b>metabolizem BPB</b>	<ul style="list-style-type: none"> <li>- v človeškem urinu se nahaja tako v prosti obliki kot v obliki acetata (29)</li> <li>- je inhibitor CYP2D6 (19)</li> <li>- CYP3A4 substrat, se oksidira (19)</li> </ul>

### **1.2.5. BPC**

Bisfenol C (BPC) je analog BPA, ki se od njega razlikuje po  $\text{CH}_3$  funkcionalni skupini na meta mestu obeh fenolnih obročev. Uporablja se v izdelavi epoksi smol (39) in kot razvijalec barve v topotno prevodnih materialih za senzorje (40). Njegovo strukturno formulo in fizikalno-kemijske lastnosti predstavlja Preglednica XXXV v Prilogi 1. Raziskave na estrogenskih receptorjih so dokazale, da BPC v manjšem obsegu (35 %) kot BPA (80 %) aktivira  $\text{ER}\beta$ , se močneje kot BPA veže tako  $\text{ER}\alpha$ , kot  $\text{ER}\beta$  in je selektivni modulator estrogenskih receptorjev (selective estrogen receptor modulator – SERM) (40).

### **1.2.6. BPE**

Bisfenol E (BPE) je analog BPA, ki se od njega razlikuje v metilni skupini na metilenskem mostičku. Uporablja se kot razvijalec v termičnem papirju (41). Njegovo strukturno formulo in izbrane fizikalno-kemijske lastnosti prikazuje Preglednica XXXVI v Prilogi 1. Pregled do zdaj opravljenih raziskav s tematiko BPE kot motilca endokrinega sistema prikazuje Preglednica IV.

**Preglednica IV: Učinki BPE kot motilca endokrinega sistema, njegov metabolizem in razgradnja**

<b>estrogenost BPE v splošnem</b>	<ul style="list-style-type: none"> <li>- testiranje estrogenosti <i>in vitro</i> z uporabo testa BLYES, primerljiva estrogenost z BPA (<math>\text{EC}_{50}</math> je <math>7,43 \times 10^3</math> nM v primerjavi z <math>4,1 \times 10^3</math> nM) (8)</li> </ul>
<b>endokrino delovanje BPE</b> **v viru z zaporedno številko 18 je v raziskavi uporabljen H295R test steroidogeneze <i>in vitro</i> , ki se izvaja na celicah adenokarcinoma	<ul style="list-style-type: none"> <li>- bioluminescenčni test na kvasovkah (BLYES) je pokazal, da je koncentracija potrebna za 50 % maksimalnega odziva (<math>\text{EC}_{50}</math>) <math>7,43 \times 10^3</math> nM (8)</li> <li>- zviša koncentracijo progestagena (<math>\text{EC}_{50} = 23 \mu\text{M}</math>) (19)</li> <li>- zniža koncentracijo testosterona (<math>\text{EC}_{50} = 5 \mu\text{M}</math>) (19)</li> <li>- zniža koncentracijo androgenov (<math>\text{EC}_{50} = 0,3; 0,5; 5 \mu\text{M}</math>) (19)</li> <li>- zviša koncentracijo estrogenov <math>17\beta</math>-estradiola in estrona (<math>\text{EC}_{50} = 13,6; 22,2 \mu\text{M}</math>) (19)</li> <li>- zviša raven kortikosterona (<math>\text{EC}_{50} = 16,1 \mu\text{M}</math>) (19)</li> </ul>
<b>metabolizem BPE</b>	<ul style="list-style-type: none"> <li>- CYP3A4 substrat, oksidacija na orto mestu (19)</li> </ul>
<b>razgradnja BPE</b>	<ul style="list-style-type: none"> <li>- odporen na adsorbcijo in biorazgradnjo (31)</li> </ul>

### **1.2.7. BPF**

Eden najbolj razširjenih analogov BPA je bisfenol F (BPF). BPF se uporablja v proizvodnji epoksi smol in polikarbonatov za notranje obloge ovojnин za hrano in oblogo vodnih pip.

(42). Ima podobne kemijske lastnosti kot BPA, zato bi morali biti njegovi učinki v okolju in usoda podobna (42, 43). Od BPA se strukturno razlikuje v zamenjavi dveh metilnih skupin na metilenskem mostičku z vodikovima atomoma (Preglednica XXXVII v Prilogi 1). Obstaja v treh izomerih, to so 4,4'-BPF, 2,4'-BPF in 2,2'-BPF (44). Nekaj časa je bil najbolj razširjen analog BPA, vendar se je izkazalo, da je zaradi bolj izraženih učinkov kot motilec endokrinega sistema slabša izbira (14). Preglednica XXXVII v Prilogi 1 prikazuje strukturno formulo in fizikalno-kemijske lastnosti. Preglednica V prikazuje izsledke raziskav BPF kot motilca endokrinega sistema.

**Preglednica V: Učinki BPF kot motilca endokrinega sistema, njegov metabolizem ter razgradnja**

<b>estrogenost BPF v splošnem</b>	<ul style="list-style-type: none"> <li>- testiranje estrogenosti <i>in vitro</i> v odpadnih vodah z uporabo testa BLYES, primerljiva raven estrogenosti z BPA (8)</li> <li>- v testiranju estrogenosti sedmih bisfenolov v aktivnem blatu je BPA prispeval k skupni estrogenosti z 1,9 % (glezano na ekvivalent 17<math>\beta</math>-estradiola) (27)</li> </ul>
<b>endokrino delovanje BPF</b>  **v virih z zaporednima številkama 18 in 20 je v raziskavah uporabljen H295R test steroidogeneze <i>in vitro</i> , ki se izvaja na celicah adenokarcinoma	<ul style="list-style-type: none"> <li>- bioluminescenčni test na kvasovkah (BLYES) je pokazal, da je koncentracija potrebna za 50 % maksimalnega odziva (<math>EC_{50}</math>) <math>4,01 \times 10^3</math> nM (8)</li> <li>- zavira izločanje testosterona iz celic mišij in človeških testisov že pri 10 nmol/L, kar je nižja začetna koncentracija kot pa za BPA (14)</li> <li>- zviša koncentracijo 17<math>\beta</math>-estradiola (<math>EC_{50} = 17,6</math> <math>\mu</math>M) (19, 21)</li> <li>- zviša raven progestagena (<math>EC_{50} = 16</math> <math>\mu</math>M) (19)</li> <li>- zviša raven progesterona (<math>EC_{50} = 20,8</math> <math>\mu</math>M) (19)</li> <li>- zniža koncentracijo testosterona (<math>EC_{50} = 24,9</math> <math>\mu</math>M) (19)</li> <li>- zviša koncentracijo estrona (<math>EC_{50} = 19,7</math> <math>\mu</math>M) (19)</li> <li>- poviša raven kortizola (<math>EC_{50} = 3,3</math> <math>\mu</math>M) (19)</li> <li>- poviša raven kortikosterona (<math>EC_{50} = 18,1</math> <math>\mu</math>M) (19)</li> </ul>
<b>metabolizem BPF</b>	<ul style="list-style-type: none"> <li>- CYP3A4 substrat, podvržen oksidaciji (19)</li> <li>- glavni primarni metabolit biotransformacije v človeških jetrnih mikrosomih (ob dodatku NADPH in GSH) je hidroksiliran BPF (30)</li> </ul>
<b>razgradnja BPF</b>	<ul style="list-style-type: none"> <li>- se biorazgradi in adsorbira (31)</li> <li>- popolna mineralizacija pod vplivom TiO<sub>2</sub> fotokatalizatorja (32)</li> </ul>

<b>genotoksičnost, toksičnost za organske sisteme, embriotoksičnost BPF</b>	- akutna toksičnost za <i>Vibrio fischeri</i> ( $IC_{50}$ je 2,1 mg/L po 30 minutah), kronična toksičnost za vodne bolhe ( $EC_{50}$ je 13,1 mg/L po 24 urah) (12, 32)
---	--

### 1.2.8. BPS

Bisfenol S (BPS) se od vseh analogov BPA, obravnavanih v tej nalogi, od njega najbolj razlikuje, saj nima metilenskega mostička, ampak sta fenola med sabo povezana s SO<sub>2</sub> skupino (Preglednica XXXVIII v Prilogi 1). Je bolj topotno odporen od BPA (15). V vodnih raztopinah je podvržen fotorazpadu pod vplivom UV svetlobe, ki v koncentracijskem območju 5–50 mg/L poteka po kinetiki prvega reda (45).

Spojina je pomemben kemični dodatek v pesticidih, barvilih, ohranjevalcih barve za oblačila, pripravkih za barvanje usnja, disperzijskih barvilih in izboljševalcih lastnosti vlaken (45), prav tako se uporablja v proizvodnji sulfoniranega poli (eter-ketona-eter-sulfona) (S-PEKES) (46) in v utrjevanju hitro sušečih epoksi lepil; je antikoroziv in monomer polietersulfona (PES) (47) ter se uporablja v sintezi cikličnih karbonatov (48), proizvodnji epoksi smol (49) in kot razvijalec termalnega papirja (21). Potencialno možnost odstranjevanja BPS iz vodne raztopine predstavlja nanozeolit NaY, ki je v eni izmed raziskav omogočil 93,1 % odstranitev (50). Strukturno formulo BPS in fizikalno kemijske lastnosti predstavlja Preglednica VIII v Prilogi 1. Izsledke raziskav, ki so preučevale vpliv BPS kot motilca endokrinega sistema, prikazuje Preglednica VI.

#### Preglednica VI: Učinki BPS kot motilca endokrinega sistema, njegov metabolizem ter razgradnja

<b>estrogenost BPS v splošnem</b>	<ul style="list-style-type: none"> <li>- testiranje estrogenosti <i>in vitro</i> v odpadnih vodah z uporabo testa BLYES, veliko nižja raven estrogenosti od BPA (8)</li> <li>- v testiranju estrogenosti sedmih bisfenolov v blatu je BPA prispeval k skupni estrogenosti z 3,5 % (glezano kot ekvivalent 17<math>\beta</math>-estradiola) (27)</li> <li>- monokloriranje BPS zniža njegovo estrogenost <i>in vitro</i>, dikloriranje in trikloriranje jo spet poveča (15)</li> <li>- vpliva na izločanje testosterona tako iz mišij, kot iz človeških testisov, bolj kot BPA (14)</li> </ul>
<b>endokrino delovanje BPS</b>	<ul style="list-style-type: none"> <li>- bioluminescenčni test na kvasovkah (BLYES) je pokazal, da je koncentracija potrebna za 50%</li> </ul>

**v virih z zaporednima številkama 18 in 20 je v raziskavah uporabljen H295R test steroidogeneze <i>in vitro</i> , ki se izvaja na celicah adenokarcinoma	<ul style="list-style-type: none"> <li>- maksimalnega odziva (<math>EC_{50}</math>) <math>4.13 \times 10^3</math> nM (8)</li> <li>- zniža koncentracijo prostega testosterone (21)</li> <li>- izraža estrogenско aktivnost po metabolni aktivaciji (21)</li> <li>- zviša koncentracijo progestagena (<math>EC_{50} = 8 \mu M</math>) (19)</li> <li>- v skupini BPA in štirih analogov (BPB, BPE, BPF, BPS) najbolj vpliva na <math>E_{max}</math> za <math>17\alpha</math>-OH progesteron (<math>E_{max} = 1676\%</math>) (19)</li> <li>- zniža raven kortizola (<math>EC_{50} = 4,8 \mu M</math>) (19)</li> <li>- zniža raven kortikosterona (<math>EC_{50} = 4,7 \mu M</math>) (19)</li> </ul>
<b>vpliv BPS kot agonista/antagonista estrogenskih receptorjev</b>	<ul style="list-style-type: none"> <li>- BPS in hidroksiliran BPS sta agonista estrogenskega receptorja (7)</li> <li>- BPS glukoronid ni agonist estrogenskega receptorja (7)</li> <li>- BPS, hidroksiliran BPS in BPS glukoronid ne vplivajo na androgenske receptorje (7)</li> <li>- BPS in BPS glukoronid ne vplivata na ščitnične receptorje (7)</li> <li>- hidroksiliran BPS je agonist ščitničnih receptorjev (7)</li> </ul>
<b>metabolizem BPS</b>	<ul style="list-style-type: none"> <li>- v prisotnosti NADPH v jetnih mikrosomih je BPS podvržen hidroksilaciji fenolnega obroča, kar kaže na metabolizem preko CYP encimov (7)</li> </ul>
<b>razgradnja BPS</b>	<ul style="list-style-type: none"> <li>- biorazgradljiv (31)</li> </ul>

### 1.2.9. BPZ

Bisfenol Z (BPZ) je analog BPA s heksenskim obročem na metilenskem mostičku. Uporablja se kot zamenjava BPA v proizvodnji polikarbonatne plastike (predvsem plastenk) (51) ter za utrjevanje toplotno zelo odpornih materialov in za toplotno izolacijo (52). Glavni primarni metabolit BPZ v človeških jetnih mikrosomih je ob dodatku NADPH in GSH hidroksiliran BPZ (30). Strukturno formulo in fizikalno-kemijske lastnosti prikazuje Preglednica XXXIX v Prilogi 1.

V pregledu literature smo ga zasledili le v kontekstu analize koncentracij analogov BPA v okoljskih vzorcih, ne pa tudi v raziskavah njegovih učinkov kot motilca endokrinega sistema.

### 1.3. Sledovi analogov bisfenola A v okolju

Zaradi potencialnih učinkov analogov BPA na endokrini sistem je zelo pomemben monitoring le-teh v okolju. Kot je navedeno v poglavju 1.2., se vsi obravnavani bisfenoli uporablajo kot zamenjava BPA v proizvodnji različnih vrst plastike. Dandanes je odnos človeštva do plastike zelo zaskrbljujoč. Na letni ravni (informacija za leto 2017) proizvedemo 32 milijonov ton plastike in pričakuje se, da bodo do leta 2050 plastični delci prisotni v zaznavni količini v prebavilih 95 % vseh ptic v da bo v morjih količinsko 3 x več plastike kot rib (53).

Različne vrste plastike so zelo raznovrstne v svojih lastnostih, da se jih zlahka oblikovati, so odporne na vlago, so močan material in so relativno poceni. Zato je njihova uporaba izjemno razširjena. Problem nastane, ker se plastika zelo počasi razgrajuje (54). V nadaljevanju magistrskega dela obravnavamo koncentracije analogov BPA v odpadnih vodah iz čistilnih naprav, saj se očiščena voda iz le-teh kasneje vrne nazaj v okolje, med drugim se tudi lahko uporablja za namakanje polj (13), kar seveda pomeni, da se analogi BPA lahko pojavijo v pridelkih. Odpadne vode, četudi po čiščenju, so tudi glavni vir ostankov bisfenolov v okolju (55). Preglednica VII prikazuje vsebnosti analogov BPA, določene v analizah okoljskih in človeških vzorcev iz pregleda literature.

**Preglednica VII: Koncentracije analogov BPA v okoljskih in človeških vzorcih (velikostni razredi so podani glede na pričakovane izmerjene koncentracije)**

	<b>odpadne vode</b>	<b>odpadno blato</b>	<b>površinske vode</b>	<b>pitna voda</b>
BPA	0–12,7 µg/L (13, 31, 42, 56, 57, 58, 59)	0–25,6 mg/kg (27, 31, 42, 60, 61)	0–1,95 µg/L (42, 62, 63, 64, 65)	0–22,2 µg/L (66)
BPAF	0–13,2 ng/L (31)	0–45,1 ng/g (31, 60, 61)	/	/
BPAP	/	0–16,0 ng/g (31)	/	/
BPB	/	0–5,6 ng/g (27)	/	/
BPC	/	/	/	/
BPE	0–8,06 ng/L (31)	0–167 ng/g (61)	/	/
BPF	0–1,43 µg/L (31, 42, 57, 58, 59)	0–1,78 mg/kg (27, 31, 42, 60, 61)	0–2,85 µg/L (42, 64, 65)	/
BPS	0–0,746 µg/L (31)	0–1,48 mg/kg (27, 60, 61)	0–7,2 µg/L (64, 65)	/
BPZ	/	0–0,969 mg/kg (27, 60)	/	/
	<b>hrana</b>	<b>pijača</b>	<b>termični papir</b>	<b>urin</b>
BPA	0–395 µg/kg (22, 67, 68, 69)	0–1,26 µg/L (51, 52)	0–30,4 mg/g (21, 41)	0–6,24 µg/L (29, 70)
BPAF	/	/	/	/
BPAP	/	/	/	/
BPB	0–146 µg/kg (22, 68)	/	/	0–1,15 µg/L (29)
BPC	/	/	/	/
BPE	0–12,8 µg/kg (69)	/	/	/
BPF	0 – 31,6 µg/kg (69)	0–7,07 µg/L (51, 52)	/	/

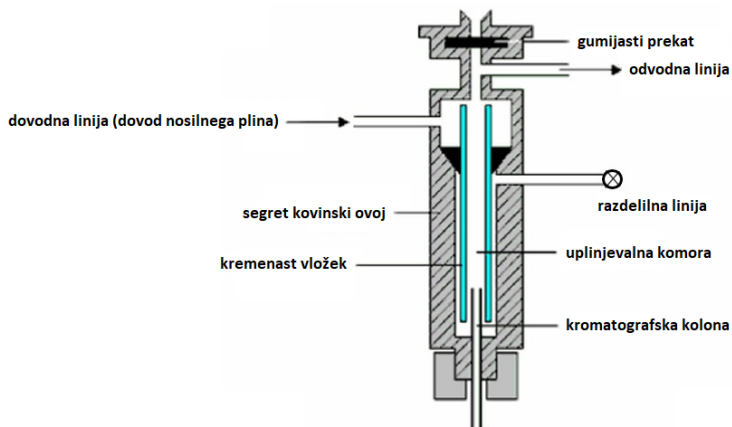
BPS	0–302 µg/kg (69)	/	0–12,6 mg/g (21, 41)	0–21,0 µg/L (72)
BPZ	0–28,4 µg/kg (69)	0–90 ng/L (52)	/	/
<b>serum</b>				
BPA	0–66,5 µg/L (72)			
BPAF	/			
BPAP	/			
BPB	/			
BPC	/			
BPE	/			
BPF	/			
BPS	/			
BPZ	/			

#### 1.4. Določanje vsebnosti analogov bisfenola A v odpadnih vodah

Običajne metode za določanje vsebnosti analogov BPA v odpadnih vodah in ostalih okoljskih vzorcih so sklopljene metode tekočinske kromatografije (LC), tekočinske kromatografije visoke ločljivosti (HPLC) ali plinske kromatografije (GC) z masno spektrometrijo (MS) oziroma tandemsko masno spektrometrijo (MS/MS). Nekatere izmed pogosto uporabljenih metod so GC-MS (13), LC-MS (22), LC-MS/MS (56) in HPLC-MS/MS (61). V nadaljevanju magistrskega dela se osredotočamo na GC-MS, ki je bila metoda, s katero smo analizirali naše vzorce.

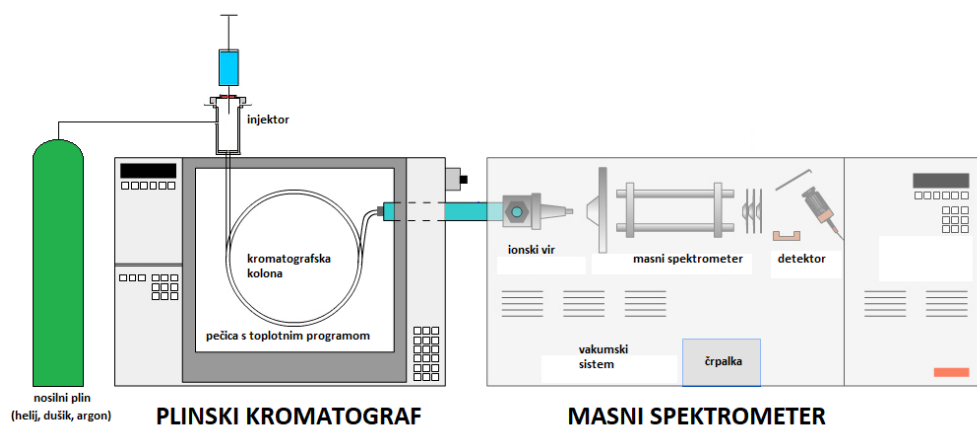
GC-MS je metoda, ki jo izberemo, ko analiziramo manjše molekule (razmerje mase in naboja m/z do 550), ki morajo biti hlapne (73) in topotno stabilne (74). Je zelo razširjena metoda, ker je hitra, zahteva le majhne količine vzorca, ki je lahko tekoč, plinast ali razplinjena trdna snov (75), omogoča separacijo kompleksnih mešanic, kvantifikacijo analitov in zaznavo zelo nizkih koncentracij (sledov) analitov (73).

Potek metode se začne z injiciranjem vzorca v plinski kromatograf (75), kar lahko izvedemo na enega od dveh načinov. To sta način z delitvijo nosilnega plina in način brez delitve nosilnega plina. Razlikujeta se glede na to, če je razdelilna linija (Slika 3) v injektorju odprta ali zaprta. Pri »splitless« načinu ves injicirani vzorec doseže kolono, saj je linija zaprta, vendar to lahko kasneje v kromatogramu namesto ozkih povzroči široke vrhove, česar pa si ne želimo. V »splitless« načinu je razdelilna linija odprta in lahko kontroliramo, kolikšen delež vzorca doseže kromatografsko kolono in kolikšen del izhlapi (76).



Slika 3: Shema injektorja v plinskem kromatografu - pritejeno po (76)

Kot mobilna faza deluje nosilni plin. To je lahko helij, dušik ali argon (73). Vzorec nadaljuje pot (Slika 4) v pečico z določenim temperaturnim programom, skozi kromatografsko kolono, kjer se spojine v vzorcu ločijo na stacionarni fazi glede na polarnost in velikost (75). Sledi analiza v masnem spektrometru. Ta je razdeljen na 3 dele, tj. na ionizator, masni filter in detektor. Ionizator molekule pretvori v ione. Poznamo več vrst ionizatorjev. Najpogosteje uporabljana metoda je elektronska ionizacija (EI), pri kateri snop elektronov ionizira molekule vzorca, pri čemer vsaka molekula izgubi en elektron, lahko pa ga tudi pridobi. Tako nastane radikalni kation ali radikalni anion (74). Ta radikalni ion gre skozi masni filter, ki loči ione glede na njihovo razmerje mase in naboja ( $m/z$ ) (73). Končna rezultata metode sta kromatogram, v katerem ima vsaka preiskovana spojina svoj značilni retencijski čas (Tr) in masni spekter, v katerem lahko razberemo molsko maso spojine in njene značilne fragmente (74).



Slika 4: Shema GC-MS – pritejeno po (77)

## 2. NAMEN DELA

BPA se pogosto uporablja kot mehčalec v proizvodnji plastike. Ker se je izkazalo, da ima BPA škodljive učinke na endokrini sistem, so se kot njegova zamenjava začele uporabljati alternative v obliki analogov BPA, vendar so nadaljnje raziskave pokazale, da imajo tudi analogi (najbolj razširjena in raziskana sta BPF in BPS) škodljive učinke. V okolju jih najdemo tako v odpadnih vodah in blatu kot tudi v površinskih vodah, najdemo pa jih lahko tudi v hrani, pijači in papirju, ki se uporablja za blagajniške račune in se reciklira, na ta način pa se bisfenoli lahko pojavijo tudi v knjigah in časopisih. Večina raziskav analogov BPA se je do sedaj osredotočala predvsem na določitve BPA, občasno pa zajemajo raziskave tudi BPF in BPS, le redko pa ostale analoge. Med najmanj zastopanimi v pregledu literature sta BPAP in BPC. BPC je bil le nekajkrat vključen v raziskave prisotnosti v okoljskih vzorcih, njegova vsebnost pa je bila v vseh raziskavah pod ustreznou mejo določitve uporabljenih analiznih metoda (LOD).

V tem magistrskem delu se bomo posvetili določitvi vsebnosti BPA analogov, izpustili pa bomo preverjanje vsebnosti BPA, saj le-ta spada med najbolj preučevane spojine v odpadnih vodah in okolju. Poleg tega so njegove pričakovane koncentracije za 3 velikostne razrede višje od vsebnosti večine ostalih analogov ( $\mu\text{g/L}$  v primerjavi z  $\text{ng/L}$ ). V magistrskem delu se bomo osredotočili na 8 njegovih analogov, in sicer na BPAF, BPAP, BPB, BPC, BPE, BPF, BPS in BPZ. Namens dela je optimizirati in validirati analizno metodo za sočasno kvalitativno in kvantitativno določitev prej navedenih analogov. Prav tako pa želimo določiti vsebnosti teh bisfenolov v 47 vzorcih odpadne vode iz 5 slovenskih čistilnih naprav.

### 3. MATERIALI IN METODE

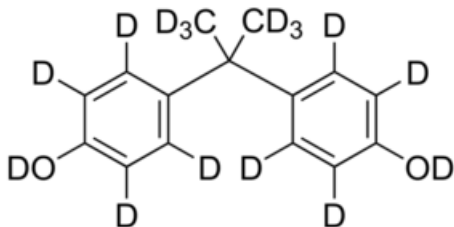
#### 3.1. Materiali

##### 3.1.1. Standardi merjenih spojin, topila in ostale kemikalije

V preglednici VIII navajamo imena uporabljenih spojin, njihovih proizvajalcev in državo proizvodnje, čistost in CAS številke. Strukture spojin in njihove fizikalno-kemijske lastnosti navajamo v Preglednicah I–IX v Prilogi I. Standardi bisfenolov so bili shranjeni na sobni temperaturi v originalnih steklenih oziroma plastičnih vsebnikih v obliki prahu ali zrnc. Kot interni standard smo uporabljali devterirani BPA (dBPA-d<sub>16</sub>), v katerem je 16 vodikovih atomov zamenjanih z izotopom devterijem (Slika 5). Interni standard je bil shranjen pri 4 °C.

Preglednica VIII: Imena spojin, proizvajalci, čistost in CAS kode spojin

ime	proizvajalec, država	čistost	CAS koda
BPAF	Sigma-Aldrich, ZDA	99 %	1478-61-1
BPAP	Sigma-Aldrich, ZDA	99 %	1571-75-1
BPB	Dr. Ehrenstorfer, Nemčija	99.8 %	77-40-7
BPC	Sigma-Aldrich, ZDA	99 %	79-97-0
BPE	Sigma-Aldrich, ZDA	98 %	2081-08-5
BPF	Sigma-Aldrich, ZDA	98 %	620-92-8
BPP	Sigma-Aldrich, ZDA	99 %	2167-51-3
BPS	Sigma-Aldrich, ZDA	98 %	80-09-1
BPZ	Sigma-Aldrich, ZDA	98 %	843-55-0
dBPA-d <sup>16</sup>	Sigma-Aldrich, ZDA	98 % atom. D	96210-87-6



Slika 5: Struktorna formula dBPA-d16.

Pri delu smo uporabljali sledeča topila: ultra čisto vodo, metanol (MeOH) za LC-MS oziroma GC-MS, diklorometan (DCM) in etilacetat (EtAc). Proizvajalec vseh topil, razen MeOH za LC-MS, je J. T. Baker (Phillipsburg, ZDA). Proizvajalec MeOH za LC-MS je Merck (Darmstadt, Nemčija). Vsa uporabljena topila so bila analitske čistote. MeOH za GC-MS smo uporabili za pripravo raztopin vseh standardov, razen pri pripravi skupnega standarda, kjer smo uporabili MeOH za LC-MS.

Derivatizacijo smo izvedli z derivatizacijskim sredstvom N-terc-butildimetilsilil-N-metiltrifluoroacetamid (*MTBSTFA*): C<sub>9</sub>H<sub>18</sub>F<sub>3</sub>NOSi z 1 % terc-butildimetilklorosilanom (*t-BDMCS*) kot katalizatorjem (Sigma-Aldrich, ZDA). Derivatizacijsko sredstvo smo shranjevali pri – 20 °C.

### 3.1.2. Pribor in aparature

Vso steklovino in splošni pribor, ki smo ga uporabili pri eksperimentih, navajamo v Preglednici IX.

Preglednica IX: Seznam steklovine in pribora

<b>steklovina</b>	čaše različnih velikosti, 250 mL in 500 mL steklenice za vzorce, presesalna erlenmajerica, steklena buča z nastavkom, 50 mL, 100 mL in 200 mL bučke, steklene palčke, eluirke
<b>kovinski pribor</b>	spatule, žličke za tehtanje
<b>tehtnica</b>	analitska tehtnica model AT201 (Mettler-Toledo, Švica)
<b>ostalo</b>	polavtomatske pipete (20–200 µL, 100–1000 µL, 1000–5000 µL) z nastavki (Gilson, ZDA), vortex model Vibromix 10 (Domel d.o.o, Slovenija), hladilnik in zamrzovalnik (Gorenje, Slovenija), naprava za prepihovanje v toku dušika (Glas-Col, ZDA), sušilnik (Memmert, Nemčija), sušilnik za steklovino Heratherm Oven OGS60 (Thermos Scientific, ZDA)

Za filtriranje vzorcev smo uporabili filter z nedefinirano velikostjo por < 1 µm, premera 55 mm, proizvajalca Macherey-Nagel (Nemčija), ter celulozno-nitratni filter z velikostjo por 0,45 µm, proizvajalca Sartorius Stedim Biotech (Nemčija). Pri ekstrakciji in eluciji smo uporabljali kartuše OASIS® HLB 3 cc/60 mg proizvajalca Waters ter kadičko za ekstrakcijo Vacuum Manifold Processing Station (Slika 6) proizvajalca Agilent (ZDA) z vakuumsko črpalko 220 V/50 Hz proizvajalca Millipore (ZDA). Ekstrakte vzorcev smo pred kemijsko analizo z GC/MS derivatizirali v 1,5 mL steklenih vialah s plastičnimi pokrovčki proizvajalca Sigma-Aldrich (ZDA).



Slika 6: Kadička za ekstrakcijo na trdnih nosilcih (SPE)

Vzorce smo analizirali s plinskim kromatografom GC 7890B (Agilent Technologies, ZDA) sklopljenim z masno-selektivnim detektorjem MSD 5977A (Agilent Technologies, ZDA).

### 3.2. Metode dela

#### 3.2.1. Priprava raztopin standardov merjenih spojin

Standardne raztopine preučevanih spojin smo pripravili tako, da smo zatehtali ustreznou količino spojine v 50 mL ali 100 mL bučko in jo dopolnili z MeOH do oznake (Preglednica X). Za lažje rokovanje s standardi smo nato iz vseh standardov (brez dodatka internega standarda) pripravili skupno standardno raztopino. Za njeno pripravo smo 50 µL vsakega standarda odpipetirali v 250 mL bučko in jo dopolnili z MeOH do oznake. Koncentracija vsakega bisfenola v 250 mL bučki je bila 10 µg/L. Za pripravo skupnega standarda za razširitev krivulje med 100 ng/L in 1000 ng/L smo odpipetirali 1 mL vsakega standarda v 250 mL bučko, koncentracija vsakega bisfenola v tej bučki pa je bila 200 µg/L.

Preglednica X: Zatehte posameznih bisfenolov za pripravo standarda in pripadajoče koncentracije v bučkah.

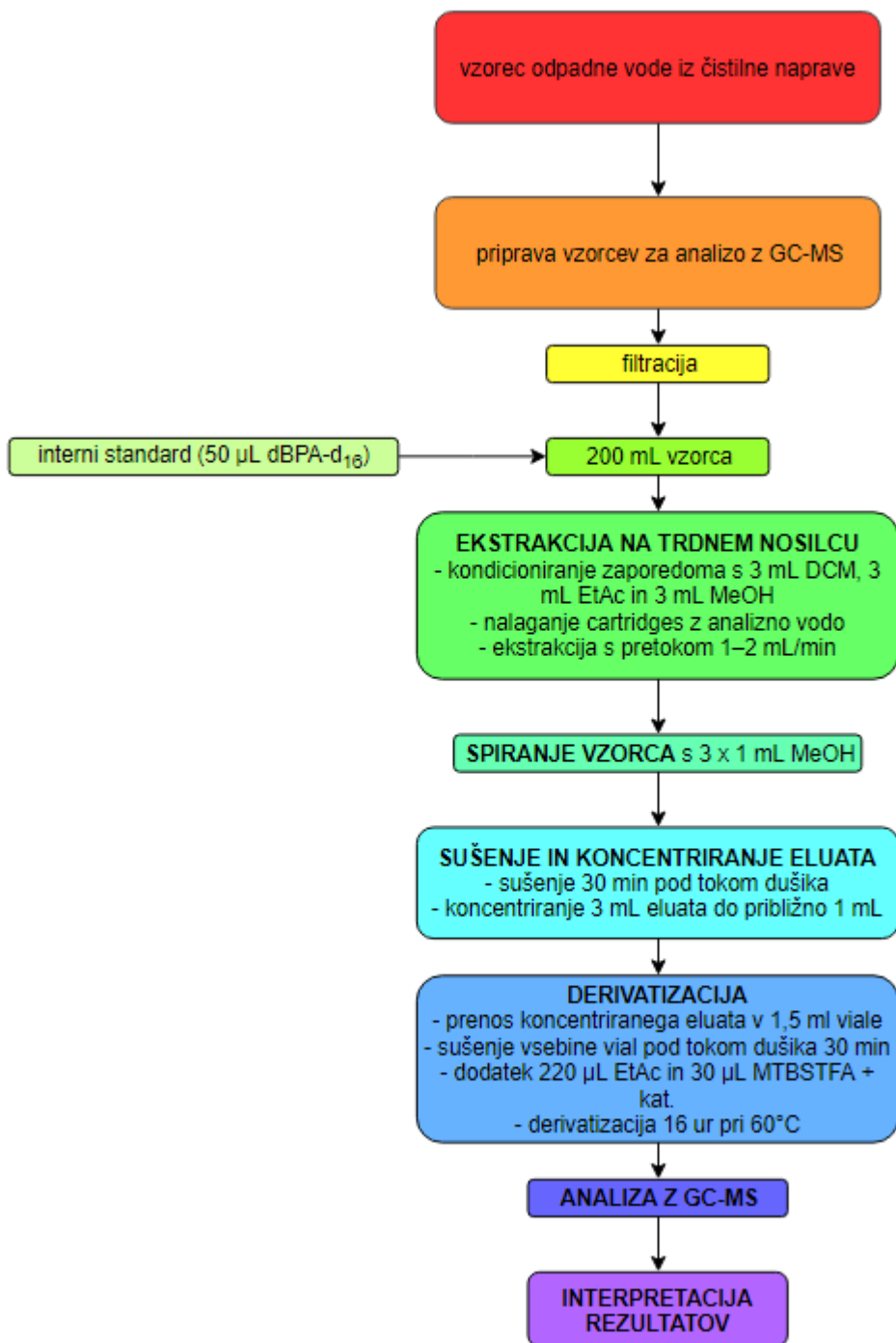
ime spojine	zatehta (mg)	volumen bučke (mL)	koncentracija v bučki (mg/L)
BPAF	5,23	100	52,3
BPAP	5,12	100	51,2
BPB	2,56	50	51,2
BPC	5,14	100	51,4
BPE	5,40	100	54,0
BPF	5,35	100	53,5
BPS	5,32	100	53,2
BPZ	5,29	100	52,9

Ločeno smo pripravili raztopino dBPA in sicer smo odpipetirali 124 µL osnovne raztopine dBPA s koncentracijo 0,2018 mg/mL v 250 mL bučko. Tako smo dobili raztopino s

koncentracijo 0,1 mg/L. V vsak vodni vzorec smo odpipetirali 50 µL tega standarda in tako dobili končno koncentracijo dBPA v vzorcu, to je 25 ng/L.

### **3.2.2. Postopek priprave vzorcev za GC-MS**

Priprava vzorcev pred analizo z GC-MS je vključevala filtriranje vzorcev, ekstrakcijo na trdnih nosilcih (SPE), sušenje, kvantitativen prenos v viale in derivatizacijo. Posamezne dele postopka bomo podrobnejše predstavili v sledečih podpoglavljih, celotno shemo pa prikazuje Slika 7.



Slika 7: Shema postopka SPE in GC-MS.

## VZORČENJE

Za validacijo smo uporabili umetno odpadno vodo (iztok) iz pilotnih bioloških reaktorjev. To smo storili zato, da smo zagotovili, da ta odpadna voda ne vsebuje bisfenolov. Pri posameznih analizah smo uporabili po 200 mL vzorca, razen na začetku, pred optimizacijo, ko smo uporabili 100 mL vzorca. Podrobnosti vzorčenja realnih vzorcev prikazujemo v poglavju 3.2.3.

## FILTRIRANJE

Filtrirali smo s pomočjo vakuumskih črpalk 220 V/50 Hz proizvajalca Millipore (ZDA).

Najprej smo vzorec filtrirali skozi grobi filter iz steklenih vlaken z nedefinirano velikostjo por < 1 µm proizvajalca Macherey-Nagel (Nemčija), nato pa še skozi celulozno-nitratni filter z velikostjo por 0,45 µm proizvajalca Sartorius Stedim Biotech (Nemčija).

## EKSTRAKCIJA NA TRDNEM NOSILCU

Sorbent v kartušah smo najprej aktivirali s po 3 mL DCM, EtAc in MeOH. Pri tem smo bili pozorni na to, da je bil sorbent vedno omočen. Nato smo kartuše do vrha napolnili z analizno vodo.

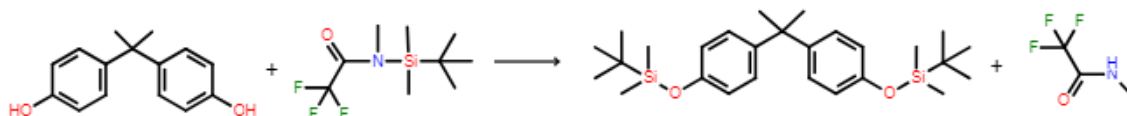
Sledila je priprava vzorcev v 250 mL steklenicah. Priprava vzorcev za posamezne eksperimente je opisana v podoglavlju 3.2.4. Preko cevk smo povezali kartuše in vzorce v steklenicah. S pomočjo vakuumskih črpalk smo uravnali pretok skozi kartuše na približno 1–2 mL/min in nanesli vzorce na kartuše. Po nanosu vzorcev smo počakali, da so vsi vzorci stekli skozi in vsako steklenico sprali še z nekaj mL prečiščene vode.

Kadičko smo nato osušili in priklopili na vakuumsko črpalko. Počakali smo, da se je sorbent v kartušah posušil in postal sipek, kar je trajalo približno 45 minut.

Vzorce smo eluirali s 3 x 1 mL MeOH v eluirke, vsebino katerih smo nato sušili v toku dušika pri temperaturi 40 °C, do približnega volumna 1 mL. Vsebino epruvet smo kvantitativno prenesli v steklene viale in nato z 200 µL etilacetata sprali stene. Vzorce smo v toku dušika posušili do suhega. Sledila je derivatizacija vzorcev. Če vzorcev nismo derivatizirali in analizirali še isti dan, smo posušene ekstrakte shranili pri – 20 °C.

## DERIVATIZACIJA

V viale smo odpipetirali 220 µL etilacetata in 30 µL *MTBSTFA* z 1 % *t*-BDMCS (Sigma-Aldrich, ZDA), jih zaprli s pokrovčkom in jih premešali na stresalniku. Nato smo jih derivatizirali 16 ur pri 60 °C. Reakcijo derivatizacije (na primeru BPA) prikazuje Slika 8.



Slika 8: Prikaz reakcije derivatizacije preiskovanih spojin na primeru BPA

## ANALIZA Z GC-MS

Derivatizirane vzorce smo še enkrat premešali na stresalniku in jih nato analizirali s plinskim kromatografom GC 7890B (Agilent Technologies, ZDA) sklopljenim z masnoselektivnim detektorjem MSD 5977A (Agilent Technologies, ZDA). Pogoje analize navajamo v Preglednici XI.

Preglednica XI: Pogoji GC-MS analize

<b>kromatografska kolona</b>	HP-5MS Ultra Inert (Agilent, ZDA)
<b>delovno območje kolone</b>	0 °C–325 °C (350 °C)
<b>dimenzijske kolone</b>	30 m × 250 µm × 0,25 µm
<b>nosilni plin</b>	helij
<b>pretok nosilnega plina</b>	1 mL/min
<b>hitrost nosilnega plina</b>	25,303 cm/s
<b>način injiciranja</b>	brez razdeljevanja
<b>temperatura injektorja</b>	250 °C
<b>temperatura vsebnika</b>	280 °C
<b>volumen injiciranega vzorca</b>	1 µL

Pred in po koncu vsakega sklopa analiz smo na GC-MS posneli tudi vzorec topila (EtAc). Temperaturni program pečice kromatografa je razviden iz Preglednice XII. Skupni čas pomeni celotni čas snemanja kromatogramov in spektrov.

Preglednica XII: Temperaturni program GC-MS analize

<b>začetna temperatura (°C)</b>	<b>hitrost naraščanja T (°C/min)</b>	<b>končna temperatura (°C)</b>	<b>pretečen čas (min)</b>
120		120	0
120	20	200	2
200	20	280	5
280	20	310	10
			17 (celotni čas)

Pri analizi spojin smo uporabljali metodo SIM (Single Ion Monitoring oziroma metoda izbranih ionov), pri kateri snemamo le značilne ione za vsako spojino. Za vsako spojino smo izbrali tri ione, za potrditev prisotnosti posamezne spojine v vzorcu pa preverili prisotnost in razmerje odzivov vseh treh ionov. Kot odziv smo upoštevali površino pod kromatografskim vrhom. Za kvantifikacijo smo uporabili površino kromatografskega vrha, ki je ustrezala ionu z najvišjim odzivom (kvantifikacijski ion). Kvantifikacijski ion smo izbrali glede na to, kateri vrhovi v masnem spektru so bili značilni za določeno spojino, to pomeni, da se niso pojavili v spektrih več spojin. Tri od teh ionov smo uporabili za to, da smo preverili identiteto spojine. Kvantifikacijski ion smo nato izbrali glede na to, kateri vrh je imel v kromatogramu največjo površino in je bil najožji.

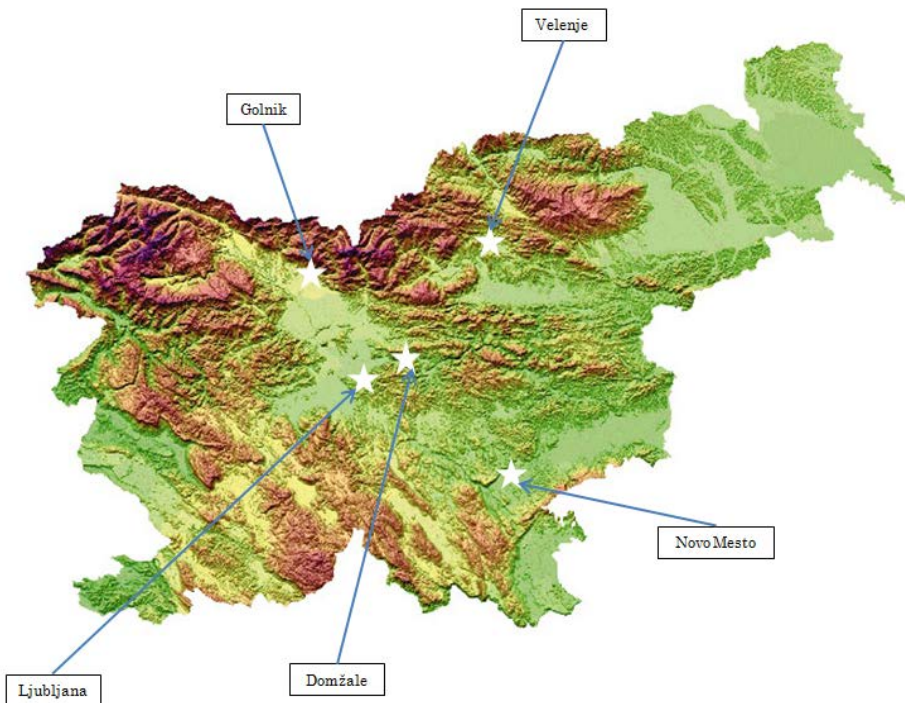
V Preglednici XIII so navedeni izbrani ioni za derivatizirane oblike spojin. Poleg izbranih značilnih ionov so v preglednici navedeni tudi retencijski časi.

**Preglednica XIII: Karakteristični ioni za derivatizirane spojine in retencijski časi (ion za kvantifikacijo je v odbeljenem poševnem tisku)**

spojina	ion <sub>1</sub>	ion <sub>2</sub>	ion <sub>3</sub>	t <sub>r</sub> (min)
BPAF	225	<b>315</b>	357	14,08
BPAP	269	<b>503</b>	518	22,48
BPB	221	<b>441</b>	470	17,37
BPC	263	<b>469</b>	484	17,5
BPE	235	<b>427</b>	442	16,05
BPF	<b>179</b>	221	428	15,8
BPS	<b>229</b>	379	478	22,28
BPZ	<b>247</b>	289	496	21,21
dBPA-d <sub>16</sub>	<b>452</b>	453	470	16,3

### 3.2.3. Vzorčenje realnih vzorcev

Analizirali smo 24-urne časovno povprečne vzorce vtokov in iztokov petih čistilnih naprav, to so centralne čistilne naprave Ljubljana (CČN LJ), Šaleška dolina (CČN ŠD), Domžale – Kamnik (CČN DK), centralna čistilna naprava Novo mesto (CČN NM) in čistilna naprava Golnik (ČN G). Zemljevid lokacij ČN prikazuje Slika 9. Vzorci CČN DK in CČN LJ so poleg vtokov in iztokov (skupno 22) zajemali tudi trenutne vzorce glavnih dotokov tehnoloških voda, in sicer 13 v primeru CČN DK, 12 pa v primeru CČN LJ (Slika 10). Skupni nabor vzorcev je tako obsegal 47 vzorcev mešanih tehnoloških in komunalnih voda. Oznake in opisi vseh vzorcev so navedeni v Preglednici XIV. Pri parih vzorcev vtokov in iztokov iz ČN smo določili % odstranitve posamezne spojine. Izračunali smo ga iz iztoka ter pripadajočega vtoka s privozi, saj ta omogoča boljšo predstavo skupne koncentracije posamezne spojine kot samo vtok. To je zato, ker smo v okviru vzorčenj zajeli samo določene vzorce, ki smo jih izbrali kot potencialne vire bisfenolov, vtok s privozi pa zavzema tudi vire bisfenolov, ki jih nismo izbrali.

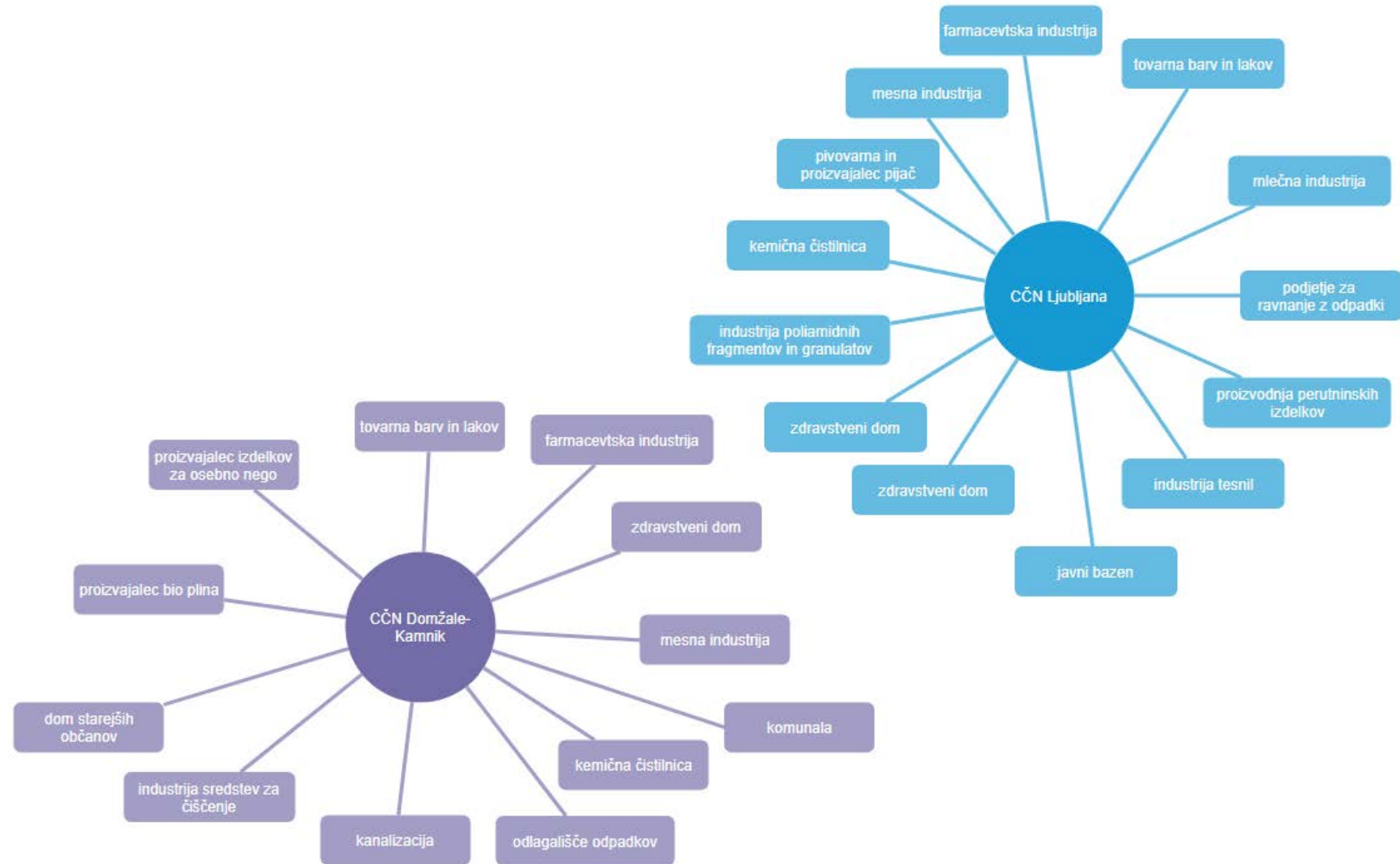


Slika 9: Zemljevid lokacij čistilnih naprav – pritejeno po (78)

V Preglednici XIV so predstavljene značilnosti vseh čistilnih naprav, njihova lokacija, tip čistilne naprave (način čiščenja), leto izgranje in število populacijskih enot. Populacijska enota oziroma populacijski ekvivalent je enota za obremenjevanje vode, ki ustreza onesnaževanju, ki ga povzroči en prebivalec na dan. Slika 10 predstavlja shematski prikaz vseh pritokov iz industrijskih čistilnih naprav na CČN LJ in DK, iz preostalih treh ČN sta bila odvzeta vsakokrat samo po dva vzorca, to sta vtok in iztok, odvzeta v razmaku 24 ur.

#### Preglednica XIV: Značilnosti ČN

ime čistilne naprave	tip čistilne naprave	leto izgradnje	število populacijskih enot (PE)
CČN Ljubljana	mehansko biološka filtracija (1 stopnja) z anaerobno stabilizacijo blata	1991 (nadgradnja 2006)	360000
CČN Domžale – Kamnik	mehansko biološka filtracija (2 stopnji) z anaerobno stabilizacijo blata	1981 (nadgradnja 2014–2016)	200000
CČN Novo mesto	membransko biološki reaktor (biološko čiščenje in ultrafiltracija odpadnih vod)	2012 (nova)	55000
CČN Šaleška Dolina	biofiltracija	1990	50000
ČN Golnik	mehansko biološka filtracija	/	800



Slika 10: Shema pritokov industrij na CČN Ljubljana in CČN Domžale – Kamnik

Preglednici XV in XVI prikazujeta vse oznake in opise vzorcev. V preglednici XV so vsi privozi iz industrijskih obratov na CČN LJ in CČN DK, ki so vsi trenutni vzorci. Preglednica XVI prikazuje vse vtoke, iztoke in vtoke z dovozi za vseh 5 čistilnih naprav. Vsi ti vzorci so 24-urni povprečni vzorci, razen vzorcev LJ\_Inf1 in LJ\_Eff1, ki sta trenutna vzorca. Številka v oklepaju pomeni, da je vzorec del skupine vzorcev, ki so bili odvzeti na isti dan, v primeru (4) pa gre za vzorca, odvzeta v razmaku dveh dni. Oznaka LJ pomeni vzorce, odvzete iz CČN Ljubljana, DK vzorce, odvzete iz CČN Domžale – Kamnik, NM vzorce, odvzete iz CČN Novo mesto, medtem ko GO pomeni vzorce, odvzete iz ČN Golnik, VE pa vzorce, odvzete iz ČN Šaleška Dolina v Velenju. ZD pomeni zdravstveni dom, UKC pa Univerzitetni klinični center Ljubljana. Dotok pomeni zajem vzorca pred čiščenjem, iztok pomeni zajem vzorca po čiščenju. Privozi pomenijo odpadno vodo iz bližnjih industrij oziroma objektov, ki nimajo svoje lastne čistilne naprav in ki je do CČN bila pripeljana z vozilom.

**Preglednica XV: Oznake in opisi vzorcev pritokov industrijskih obratov (trenutni vzorci)**

oznaka vzorca	opis vzorca	oznaka vzorca	opis vzorca
LJ_Pool	javni bazen	DK_Clean	proizvodnja čistilnih sredstev
LJ_Paint	tovarna barv in lakov	DK_Cloth	kemična čistilnica
LJ_Do	industrija tesnil	DK_Meat	mesna industrija
LJ_Mle	mlečna industrija	DK_Trash	odlagališče odpadkov
LJ_Far	farmacevtska industrija	DK_To	proizvajalec izdelkov za osebno nego
LJ_Beer	pivovarna in proizvajalec pijač	DK_Gas	proizvajalec bioplina
LJ_Gran	industrija poliamidnih fragmentov in granulatov	DK_Paint	tovarna barv in lakov
LJ_Hosp	bolnišnica	DK_Far	farmacevtska industrija
LJ_Trash	podjetje za ravnanje z odpadki	DK_Kom	komunala
LJ_Cloth	kemična čistilnica	DK_RetHome	dom starejših občanov
LJ_Health	zdravstveni dom	DK_Health	zdravstveni dom
LJ_Poultry	proizvodnja perutninskih izdelkov	DK_Canal	kanalizacija
LJ_Meat	mesna industrija		

Preglednica XVI: označke in opisi vzorcev za dotoke, iztote in dotoke s privozi vseh petih čistilnih naprav (24-urni povprečni vzorci, razen LJ\_Inf1 in LJ\_Eff1)

oznaka vzorca	opis vzorca	oznaka vzorca	opis vzorca
LJ_Inf1	vtok (trenutni)	DK_Inf+4	dotok s privozi (4)
LJ_Eff1	iztok (trenutni)	DK_Eff1	dztok CČN DK (1)
LJ_Inf2	vtok (24h)	DK_Eff2	iztok CČN DK (2)
LJ_Eff2	iztok (24 h)	DK_Eff3	iztok CČN DK (3)
DK_Inf1	dotok CČN DK (1)	DK_Eff4	iztok CČN DK (4)
DK_Inf2	dotok CČN DK (2)	NM_Inf	dotok Novo mesto
DK_Inf3	dotok CČN DK (3)	NM_Eff	iztok Novo mesto
DK_Inf4	dotok CČN DK (4)	GO_Inf	dotok Golnik
DK_Inf+1	dotok s privozi (1)	GO_Eff	iztok Golnik
DK_Inf+2	dotok s privozi (2)	VE_Inf	dotok Šaleška dolina
DK_Inf+3	dotok s privozi (3)	VE_Eff	iztok Šaleška dolina

Vzorce smo vzorčili na dva načina, in sicer smo vse pritoke pridobili s trenutnim vzorčenjem, medtem ko so bili vzorci s čistilnih naprav 24-urni časovno povprečni vzorci, pri čemer je med začetkom vzorčenja vtoka in iztoka preteklo 24 ur, z namenom upoštevanja zadrževalnega časa na posamezni čistilni napravi. Vsi vzorci so bili vzorčeni ob delovnikih. Trenutni vzorec je vzorec, ki se odvzame samo enkrat. Kompozitni vzorec oziroma sestavljeni vzorec je vzorec, ki je mešanica števila naključnih vzorcev za neko časovno obdobje, ponavadi 24 ur. Vzorce smo vzorčili med 21. 7. 2015 in 1. 10. 2015, do analize, ki smo jo izvedli med 1. 12. 2015 in 8. 2. 2016, pa so bili vzorci hranjeni pri – 20 °C.

### 3.2.4. Validacija analizne metode za določanje vsebnosti analogov bisfenola A v odpadni vodi

V sklopu validacije smo pripravili 2 kalibracijski krivulji, preverili mejo zaznavnosti (**LOD – Limit of Detection**) in mejo kvantifikacije (**LOQ – Limit of Quantification**), določili izkoristek ekstrakcije, točnost kalibracijske krivulje ter ponovljivost instrumenta in metode.

Kalibracijsko krivuljo smo pripravili dvakrat, enkrat v območju 4–100 ng/L, drugič v območju 0–1000 ng/L. Odpipetirani volumni skupnih standardov in končne koncentracije v 200 mL vzorcev sintetične odpadne vode so prikazane v Preglednici XVII. Skupni standard pomeni mešanico standardov BPAF, BPAP, BPB, BPC, BPE, BPF, BPS in BPZ,

ki smo jo pripravili, ker bi bilo pipetiranje vsakega standarda posebej dolgotrajno in bi prispevalo k celokupni napaki določitve. Skupni standard smo pripravili po postopku, predstavljenem v poglavju 3.2.1. V vsak vzorec smo odpipetirali tudi 50 µL internega standarda devteriranega BPA-d<sub>16</sub> s koncentracijo 0,1 mg/L. Vzorce smo nato ekstrahirali po postopku, predstavljenem v poglavju 3.2.2.

**Preglednica XVII: Odpipetirani volumni in koncentracije, uporabljene za kalibracijsko krivuljo**

<b>konzentracija skupnega standarda (µg/L)</b>	<b>odpipetiran volumen (µL)</b>	<b>končna koncentracija v 200 mL (ng/L)</b>
10	80	4
	160	8
	500	25
	1000	50
	1500	75
	2000	100
200	250	250
	500	500
	750	750
	1000	1000

Za določitev LOD in LOQ smo pripravili 6 paralek vzorcev umetne odpadne vode (slepi vzorci), v katere smo odpipetirali samo po 50 µL internega standarda in jih nato analizirali po postopku, predstavljenem v poglavju 3.2.2. LOD in LOQ smo izračunali po Enačbi 1, pri čemer  $\sigma$  označuje standardno deviacijo, S pa koeficient kalibracijske premice:

**Enačba 1: Izračun LOD in LOQ:**

$$LOD = \frac{3\sigma}{S} \quad LOQ = \frac{10\sigma}{S}$$

Izkoristek ekstrakcije smo preverili pri koncentracijah 20 ng/L in 80 ng/L. Za vsako koncentracijo smo pripravili 6 vzorcev. V tri vzorce umetne odpadne vode smo pred ekstrakcijo odpipetirali skupni standard preiskovanih spojin (400 µL za koncentracijo 20 ng/L, 1600 µL za koncentracijo 80 ng/L), v preostale 3 vzorce skupnega standarda preiskovanih spojin nismo dodali. Vzorce smo ekstrahirali po postopku, predstavljenem v podpoglavlju 3.2.2., jih eluirali in kvantitativno prenesli v viale. Nato smo v 3 slepe ekstrakte, to so bili vzorci, ki jim pred ekstrakcijo nismo dodali standardov preiskovanih spojin, dodali 400 oziroma 1600 µL skupnega standarda. V vse ekstrakte pa smo odpipetirali 50 µL internega standarda. Za izračun smo uporabili Enačbo 2.

**Enačba 2: Izračun % ekstrakcije:**

$$\% \text{ ekstrakcije} = 100 \times \frac{\frac{A_x}{A_{is}} \text{ pred ekstrakcijo}}{\frac{A_x}{A_{is}} \text{ po ekstrakciji}}$$

Indeks »pred ekstrakcijo« se nanaša na vzorce, v katere smo skupni standard dodali pred ekstrakcijo, indeks »po ekstrakciji« pa na vzorce, v katere smo skupni standard dodali po ekstrakciji.

Za izračun točnosti kalibracijske krivulje smo uporabili vzorce iz kalibracijske krivulje, ki smo jih preračunali po Enačbi 3.  $C_{dejanska}$  je koncentracija posamezne spojine v kalibracijski točki, odčitana iz kalibracijske krivulje,  $C_{kalibracija}$  je dejanska koncentracija posamezne spojine v kalibracijski točki, preračunana iz zatehtane mase spojine. Da smo dobili %, smo rezultat enačbe pomnožili s 100.

**Enačba 3: Izračun ujemanja koncentracij v kalibracijski krivulji z dejanskimi izmerjenimi koncentracijami:**

$$\text{točnost} = (C_{dejanska} - C_{kalibracija})/C_{dejanska}$$

Za preverjanje ponovljivosti instrumenta in metode smo po postopku, opisanem v poglavju 3.2.2., pripravili vzorce s koncentracijama 25 ng/L in 100 ng/L (v treh paralelkah). Ponovljivost instrumenta smo preverili tako, da smo eno paralelko vsakega vzorca injicirali trikrat, ponovljivost metode pa tako, da smo zaporedoma injicirali 3 paralelke vzorca. Ponovljivost smo izrazili z relativno standardno deviacijo (RSD).

## 4. REZULTATI IN RAZPRAVA

Rezultate te študije smo objavili v članku (79) in o njih poročali na različnih domačih in tujih konferencah (80, 81, 82, 83). V nadaljevanju pa podajamo natančen opis rezultatov in naših opažanj pri merjenju in nadalnjem vrednotenju koncentracij analogov BPA v odpadnih vodah.

### 4.1. Optimizacija postopka za analizo vzorcev z GC-MS

#### 4.1.1. Optimizacija SPE

V začetnih eksperimentih smo analize izvajali na polovičnem volumnu vzorca, to je 100 mL. Nato smo količino vzorca povečali na 200 mL. Ta sprememba je pomenila, da so bile površine posameznih vrhov v kromatogramu večje, kar je omogočilo zaznavo nižjih koncentracij spojin in s tem boljšo občutljivost. Naslednja optimizacija, ki smo jo izvedli, je bilo povečanje števila točk v kalibracijski krivulji s 6 na 8. To je izboljšalo linearnost in s tem natančnost določanja koncentracij z uporabo kalibracijske krivulje. V nadaljevanju smo za določene vzorce, pri katerih so bile koncentracije določenih bisfenolov izven območja linearnosti, kalibracijsko krivuljo razširili na 12 točk.

LOD in LOQ vrednosti smo poskusili znižati z analizo večjih volumnov vzorcev (500 mL) na kartušah z večjo količino sorbenta Oasis HLB ( $6 \text{ cm}^3$  s 500 mg sorbenta). Začetne analize so bile izvedene na 4-ih 200 mL slepih vzorcih in kartušah Oasis HLB  $3 \text{ cm}^3$  s 60 mg sorbenta. Slepé vzorce smo pripravili tako, da smo v vzorec iztoka iz bioreaktorjev odpipetirali interni standard dBPA-d<sub>16</sub>. Kot poskus optimizacije smo analizo izvedli na 4-ih 500 mL slepih vzorcih in  $6 \text{ cm}^3$  kartušah. Rezultati niso pokazali bistvenih razlik v določenih LOD in LOQ, kar je pomenilo, da ni potrebe za uporabo večjih volumnov vzorca in večjih ter dražjih kartuš. Nato smo se odločili povečati število slepih vzorcev, analiziranih na kartušah velikosti  $3 \text{ cm}^3$  s 60 mg sorbenta, kar je močno izboljšalo LOD in LOQ. Ker število kartuš vpliva na ceno analize, tega v optimizirano metodo nismo vključili.

#### 4.1.2. Optimizacija derivatizacije

V optimizaciji postopka derivatizacije smo preverili dve derivatizacijski sredstvi, in sicer N-terc-butildimethylsilyl-N-metiltrifluoroacetamid (MTBSTFA) in MTBSTFA z 1 % terc-butildimetylklorosilan (*t*-BDMCS) kot katalizatorjem. Preostali parametri derivatizacije, kot so uporaba 220 µL EtAc kot topila, količina derivatizacijskega sredstva (30 µL) in 16

ur derivatizacije so ostali nespremenjeni. Uporaba derivatizacijskega sredstva s katalizatorjem je zadovoljivo povečala razmerja med površinami naših spojin v kromatogramu in površino internega standarda, zato smo derivatizacijsko sredstvo s katalizatorjem od takrat dalje uporabljali v vseh analizah. Strukturni formuli MTBSTFA in *t*-BDMCS sta prikazani na Sliki 11.



Slika 11: MTBSTFA in *t*-BDMCS

Katalizator je spojina, ki pospeši kemijsko reakcijo tako, da zniža njeno aktivacijsko energijo, zato ni potrebne toliko energije za potek reakcije, ki traja manj časa. To pa tudi pomeni, da je na neki določeni časovni točki reaktant ob dodatku katalizatorja pretvorjen v produkt z višjim izkoristkom, kar pomeni večje površine kromatografskih vrhov. Prav tako v našem konkretnem primeru katalizator izboljša stabilnost derivatov (84).

## 4.2. Validacija analizne metode

Analizno metodo smo validirali na podlagi več parametrov, katerih postopki so predstavljeni v poglavju 3.2.4. Najprej smo preverili ponovljivost metode, kakor tudi ponovljivost instrumenta, rezultati so predstavljeni v preglednicah XVIII in XIX.

Preglednica XVIII: Ponovljivost metode

spojina	RSD v % (25 ng/L)	RSD v % (100 ng/L)
BPAF	14,3	4,92
BPF	8,72	5,33
BPE	8,02	4,08
BPB	3,11	6,98
BPC	8,70	23,9
BPZ	3,06	7,83
BPS	1,16	14,4
BPAP	13,4	10,7

Ponovljivost metode pomeni preverjanje napake pri analizi treh paralelki istega vzorca. RSD smo določili pri koncentraciji 25 ng/L od 1,16 do 14,3 % ter pri koncentraciji 100 ng/L od 3,49 do 23,9 %. Pričakovali smo, da bodo napake višje pri nižji koncentraciji, vendar je bila skoraj v polovici primerov (BPB, BPC, BPZ, BPS) napaka večja pri 100 ng/L. Vse napake so nižje od 25 %, najvišji RSD smo izračunali za BPC pri 100 ng/L (23,9 %), zato smo ocenili, da je ponovljivost metode ustrezna.

Preglednica XIX: Ponovljivost instrumenta

spojina	RSD v % (25 ng/L)	RSD v % (100 ng/L)
BPAF	16,1	9,13
BPF	14,8	18,0
BPE	3,90	7,37
BPB	3,65	7,49
BPC	3,85	6,04
BPZ	4,64	7,33
BPS	4,58	12,5
BPAP	7,12	7,50

Ponovljivost instrumenta zagotovimo z določitvijo RSD pri trikratnem injiciranju iste paralelke vzorca. Napake pri koncentraciji 25 ng/L so v razponu med 3,65 in 16,1 %, pri 100 ng/L pa med 2,76 in 18,0 %. Kakor pri preverjanju ponovljivosti metode, smo tudi tu pričakovali večje napake pri nižji koncentraciji, a se je to zgodilo le pri BPAF. Vsi RSD so pod 25 %, zato ocenujemo, da je metoda ustrezna.

V Preglednici XX je prikazana točnost oziroma odstopanje dejanske koncentracije od koncentracije na kalibracijski premici v %. Pričakovali smo, da je odstopanje manjše pri

višjih koncentracijah, vendar smo pri nekaterih spojinah opazili, da je bilo odstopanje manjše pri nižjih koncentracijah. Pri BPAP so bila vsa odstopanja nad 25 % (med 29,7 % in 46 %), sicer pa je BPAP bil edini izmed bisfenolov, ki je imel  $R^2$  koeficient kalibracijske krivulje okoli 0,8, medtem ko so vsi ostali bisfenoli imeli koeficient vsaj nad 0,97. Prav tako ima BPAP najmanjše površine pod kromatografskimi vrhovi. BPB in BPE imata ravno tako odstopanja nad 25 %, vendar so ta bolj konstantna (predvsem pri BPB, v razponu 4,3 %), zato ni takšnega vpliva na rezultate.

**Preglednica XX: Točnost v % pri šestih različnih koncentracijah**

spojina	4 ng/L	8 ng/L	25 ng/L	50 ng/L	75 ng/L	100 ng/L
BPAF	7,11	6,01	8,07	27,8	17,1	21,2
BPB	27,8	29,7	30,4	33,9	32,1	29,6
BPE	31,8	22,4	24,1	30,1	27,0	25,9
BPB	14,6	20,5	20,0	22,2	25,2	17,5
BPC	5,58	8,54	2,55	16,4	13,2	15,6
BPZ	6,75	19,9	20,2	26,7	26,8	23,9
BPS	52,3	46,1	31,6	25,0	27,5	21,7
BPAP	29,7	46,0	40,0	36,5	37,0	33,2

Ustreznost kalibracijske krivulje smo preverjali v dveh paralelah. Rezultate predstavlja Preglednica XXI. Ustrezna vrednost  $R^2$  je nad 0,995 (85), čemur ustrezajo kalibracijske krivulje vseh spojin v obeh paralelah. Največji preskok v vrednosti  $R^2$  je viden pri BPAP, saj je imel ta na začetku analiz, ko smo šele določali število točk v kalibracijski krivulji in volumen vzorca,  $R^2$  okoli 0,8.

**Preglednica XXI: Koeficient premice,  $R^2$  in n-vrednost za dve paraleli kalibracijske krivulje**

spojina	k	R <sup>2</sup>	n		k	R <sup>2</sup>	n
BPAF	0,259	0,999	-0,347		0,241	0,9996	-0,121
BPB	0,372	0,999	0,728		0,399	0,9998	1,76
BPE	0,0464	0,997	-0,0622		0,0450	0,9996	-0,0691
BPB	0,116	0,998	0,113		0,129	0,9997	-0,0250
BPC	0,0345	0,997	0,085		0,0395	0,996	0,110
BPZ	0,0242	0,996	0,0780		0,0328	0,999	0,131
BPS	0,0983	0,993	0,178		0,128	0,9999	0,0593
BPAP	0,0298	0,998	0,0214		0,0388	0,9997	0,00730

Preglednica XXII predstavlja izkoristek metode pri dveh koncentracijah, SD in RSD. Želeni izkoristek je čim bližje 100 %, čemur ustrezajo vse spojine pri obeh koncentracijah, razen BPC pri 80 ng/L, ki ima 56,1 % izkoristek. Za RSD ocenujemo, da je ustrezen pri vrednostih pod 25 %, čemur ne ustreza BPB in BPAP pri 20 ng/L. BPAP je bil že tekom

razvoja analizne metode najbolj problematična spojina tudi z vidika zaznavnosti. Kot vidimo v Preglednici XXI, je imel na začetku poskusov  $R^2$  koeficient kalibracijske premice okoli 0,8 in tudi v končnih analizah je imel koeficient med nižjimi. BPAP se strukturno razlikuje od ostalih spojin. V svoji strukturni formuli ima dodaten benzenski obroč, ki morda sferično moti potek reakcije, zato reakcija ne poteče v celoti, s čimer je s tem izkoristek reakcije manjši.

Preglednica XXII: Izkoristek v %, SD in RSD

spojina	20 ng/L			80 ng/L		
	povprečni %	SD	RSD	povprečni %	SD	RSD
BPAF	97,0	9,22	9,51	86,8	12,3	14,2
BPF	96,6	13,1	13,5	81,4	11,5	14,1
BPE	95,5	10,5	11,0	82,5	11,5	13,9
BPB	93,5	14,3	15,3	84,7	12,6	14,9
BPC	83,3	25,6	30,8	56,1	8,12	14,5
BPZ	96,0	18,3	19,0	85,3	12,1	14,2
BPS	100	17,4	17,4	89,4	17,9	20,0
BPAP	79,1	32,3	40,9	86,8	14,9	17,2

Preglednica XXIII predstavlja določene LOD in LOQ. V literaturi smo našli podatke samo za LOD, zato dobljenih LOQ ne moremo primerjati z literurnimi podatki. V enem izmed virov (57), kjer so določali vsebnost BPA in BPF v odpadnih in površinskih vodah, je bil LOD za oba podan kot interval med 30 in 35 ng/L, to pa zato, ker je bila preiskovana nova metoda ekstrakcije, pri kateri so uporabljali koacervate oktanojske, dekanojske, dodekanojske in tetradekanojske kisline. Ta metoda se zelo razlikuje od metode, ki smo jo razvili mi, zato je direktna primerjava LOD nerelevantna. V preostalih literurnih podatkih za LOD (za BPAP nismo našli nobenih podatkov) se LOD gibljejo med 0,043 in 2,43 ng/L (42, 59), kar ustreza našim rezultatom.

Preglednica XXIII: Določena LOD in LOQ za preiskovane spojine

	LOD (ng/L)	LOQ (ng/L)
BPAF	0,777	1,85
BPF	0,47	1,28
BPE	0,207	0,465
BPB	0,234	0,549
BPC	0,346	0,786
BPZ	1,24	4,13
BPS	0,317	1,06
BPAP	0,529	1,24

#### 4.3. Določanje vsebnosti analogov BPA v realnih vzorcih odpadnih vod

Z optimizirano in validirano metodo smo določili vsebnosti analogov BPA v 47 vzorcih odpadnih vod. V sledečih podpoglavljih smo vzorce in njihovo vsebnost merjenih spojin razdelili glede na njihove glavne vire (dotoki iz različnih obratov na CČN LJ in CČN DK), ter vtoke in iztoke petih slovenskih ČN.

##### 4.3.1. Odpadne vode, ki izvirajo iz mesne, živilske, farmacevtske in splošne industrije ter zdravstvenih domov

Nabor tovrstnih vzorcev obsega 25 vzorcev odpadnih vod, ki izvirajo iz različnih vej industrije in zdravstvenih domov ter so glavni dotoki odpadnih vod na CČN LJ ( $n = 13$ ) in CČN DK ( $n = 12$ ). Vzorci so bili odvzeti s postopkom trenutnega vzorčenja. Prikazani so v Preglednicah XXIV in XXV. Vzorci so ločeni glede na izvor (ČN Ljubljana in Domžale – Kamnik).

Preglednica XXIV: Vsebnost preiskovanih spojin (ng/L) v dotokih industrije na CČN LJ

spojina	LJ_Mle	LJ_Beer	LJ_Poultry	LJ_Meat	LJ_Phาร	LJ_Gran	LJ_Hosp	LJ_Health	LJ_Paint	LJ_Do	LJ_Pool	LJ_Trash	LJ_Cloth
BPAF	1,23	3,83	<LOD	49,0	<LOD	<LOD	1,25	26,2	0,964	<LOD	0,365	4,99	<LOD
BPF	<LOD	<LOD	1,19	19,3	5,24	<LOD	15,9	27,5	<LOD	<LOD	<LOD	<LOD	1,24
BPE	<LOD	<LOD	11,4	101	3,70	11,4	<LOD	<LOD	<LOD	0,878	0,877	28,3	21,3
BPB	<LOD	<LOD	<LOD	15,2	<LOD	<LOD	0,344	14,9	<LOD	<LOD	<LOD	<LOD	1,44
BPC	<LOD	<LOD	<LOD	2560	7,68	<LOD	5,86	175	<LOD	<LOD	<LOD	4,97	1,84
BPZ	<LOD	<LOD	2,52	87,1	1,47	<LOD	<LOD	159	<LOD	2,02	<LOD	<LOD	<LOD
BPS	<LOD	<LOD	<LOD	164	<LOD	<LOD	<LOD	34,6	<LOD	<LOD	<LOD	<LOD	<LOD
BPAP	<LOD	1,79	<LOD	33,8	<LOD	6,77	<LOD	84,6	<LOD	<LOD	<LOD	<LOD	<LOD

Preglednica XXV: Vsebnost preiskovanih spojin (ng/L) v dotokih industrije in zdravstvenih domov na CČN DK

spojina	DK_Meat	DK_RetHome	DK_Health	DK_Phар	DK_Paint	DK_Clean	DK_Cloth	DK_Trash	DK_To	DK_Gas	DK_Kom	DK_Canal
BPAF	19,3	<LOD	<LOD	<LOD	<LOD	1,08	115	15,9	5,91	<LOD	27,7	3,01
BPF	26,0	15,8	<LOD	<LOD	<LOD	72,2	958	112	<LOD	<LOD	14,6	3,99
BPE	292	5,90	1,81	<LOD	<LOD	26,3	<LOD	128	<LOD	81,9	52,7	<LOD
BPB	<LOD	0,929	0,784	<LOD	<LOD	<LOD	<LOD	23,1	0,471	0,899	19,1	1,21
BPC	95,4	29,0	6,44	<LOD	<LOD	3,98	128	247	<LOD	<LOD	15,2	<LOD
BPZ	68,6	<LOD	<LOD	<LOD	<LOD	<LOD	<LOD	429	<LOD	<LOD	<LOD	<LOD
BPS	<LOD	<LOD	<LOD	<LOD	<LOD	<LOD	<LOD	17,2	<LOD	<LOD	<LOD	30,1
BPAP	73,4	<LOD	<LOD	<LOD	<LOD	15,8	<LOD	55,2	46,7	<LOD	3,32	<LOD

Najvišje koncentracije, določene v štirih vzorcih, so:

- LJ\_Meat (posebej izstopata koncentracija BPC z 2560 ng/L in koncentracija BPS s 164 ng/L),
- DK\_Meat (posebej izstopa koncentracija BPE z 292 ng/L),
- DK\_Cloth (izstopajo koncentracije BPAF s 115 ng/L, BPF z 958 ng/L in BPC s 128 ng/L) ter
- DK\_Trash (izstopajo koncentracije BPF s 112 ng/L, BPE s 128 ng/L, BPC z 247 ng/L, BPZ s 429 ng/L).

Vse navedene koncentracije so izjemno visoke in izstopajo iz prve kalibracijske krivulje, ki je bila narejena v koncentracijskem območju med 0 in 100 ng/L. Ker so bile te koncentracije nad 100 ng/L, smo za pravilnost meritev kalibracijsko krivuljo razširili do 1000 ng/L. Pri ponovnem določanju koncentracije so bile vse koncentracije, z izjemo ene, v novem območju linearnosti. Koncentracija, ki je še vedno izstopala, je bila koncentracija BPC v vzorcu obrata LJ\_Meat, zato je ta rezultat (zaradi linearnosti) podan zgolj kot ocena. Ne glede na to pa ta vrednost vidno izstopa (2560 ng/L) in je najvišja med vsemi določanimi bisfenoli v naši raziskavi.

V literaturi smo našli podatek, da se BPC uporablja najpogosteje v proizvodnji epoksi smol (39), ki se uporablja med drugim kot laki za avtomobile, in da je izredno močan adheziv. V primeru vzorca, kateremu smo določili najvišjo vsebnost BPC (LJ\_Meat), gre za mesno predelovalni obrat, kjer pričakujemo, da se plastika večinoma uporablja kot ovojnina za mesne izdelke, kjer se uporablja analogi BPA kot plastifikatorji. Možno pa je, da BPC izhaja iz epoksi smol, ki se uporablja kot zaščitni sloj konzerv v mesni industriji.

V pregledu literature smo BPC zasledili v nekaj raziskavah, ki so se ukvarjale s preverjanjem njegove vsebnosti v okoljskih vzorcih, vendar niti v eni ni bila njegova vsebnost določena nad LOD. V raziskavah vsebnosti BPC v ovojnini hrane in pijače je bil BPC vključen samo v eni raziskavi, ki se je ukvarjala s določanjem vsebnosti analogov BPA v pločevinkah alkoholnih in brezalkoholnih pijač. Kot prej omenjeno, je bila koncentracija BPC pod LOD (51).

Povišana koncentracija BPS v istem vzorcu se morda lahko razloži s tem, da je to antikoroziv v kovinskih pločevinkah (48), možna ovojnina mesnih izdelkov pa, kot navedeno prej, ni samo plastika, ampak so tudi pločevinke.

Zanimive rezultate smo dobili tudi za vzorec DK\_Trash. To je vzorec iz deponije odpadkov, ki vključujejo odpadke iz gospodinjstev oziroma različnih industrijskih obratov, trgovin, storitvenih in drugih dejavnosti. V tem vzorcu izstopajo koncentracije kar štirih bisfenolov, njihov vir pa je na osnovi podatkov, s katerimi smo razpolagali, težko določiti. Predvidevamo, da velik del teh koncentracij prispeva plastična ovojnina, pločevinke, termični papir, zelo verjetno tudi recikliran termični papir, ki se potem kasneje znajde tudi v časopisih, knjigah in revijah.

Preglednica XXVI podaja celokupno vsebnost spojin v seštevku vseh dotokov na CČN LJ in CČN DK.

**Preglednica XXVI: Celokupne koncentracije (ng/L) preiskovanih spojin v pritokih na CČN LJ in CČN DK**

<b>spojina</b>	<b>skupne koncentracije spojin v pritokih na CČN LJ</b>	<b>skupne koncentracije spojin v dotokih na CČN DK</b>
BPAF	87,8	185
BPF	70,5	1198
BPE	179	589
BPB	31,9	45,3
BPC	2753	526
BPZ	252	498
BPS	199	47,4
BPAP	127	194

Primerjava skupnih koncentracij spojin v pritokih na CČN Ljubljana in CČN Domžale – Kamnik (Preglednica XXVI) s koncentracijami 24-urno povprečnega vtoka na CČN Ljubljana (Preglednica XXIV) in CČN DK (Preglednica XXV) kaže na to, da so vrednosti seštevkov vsebnosti posameznih bisfenolov iz posameznih virov odpadnih vod višje od vsebnosti posameznih bisfenolov na vtokih ČN, kar je razumljivo, saj se odpadna voda dolvodno redči. Poudarili bi še, da so bili vzorci pritokov na CČN vedno odvzeti na delovnik, vendar na različne dni. Poleg tega so pritoki na CČN vzorčeni trenutno, dotok na ČN pa 24-urno časovno proporcionalno. Zato smo lahko naredili le okvirno primerjavo; za natančnejšo bi morali biti vsi vzorci odvzeti na isti dan, ob isti uri in na isti način. Bolj primerno od trenutnega vzorčenja bi bilo časovno ali pretočno proporcionalno vzorčenje tekom nekaj ur (8 h ali celo 24 h).

#### 4.3.2. Vtoki in iztoki CČN

Vzorci vtokov in iztokov so v tem poglavju obravnavani ločeno za posamezne ČN. Vsi vzorci, razen dveh vzorcev in sicer vtoka in iztoka iz CČN LJ, ki sta bila trenutno vzorčena, so bili odvzeti časovno proporcionalno z ustreznim časovnim zamikom (24 ur) med vzorčenjem vtoka in iztoka. Preglednica XXVII podaja vsebnosti posameznih bisfenolov v vtokih in iztokih CČN LJ ter odstotek (%) odstranitve posamezne spojine tekom čiščenja na posamezni ČN.

**Preglednica XXVII: CČN Ljubljana, trenutni vtok in iztok, 24-urni kompozitni vtok in iztok, % odstranitve spojine (koncentracije so v ng/L)**

	trenutni	trenutni	% odstranitve spojine	24h	24h	% odstranitve spojine
	četrtek	četrtek		torek	torek	
	LJ_Inf1	LJ_Eff1		LJ_Inf2	LJ_Eff2	
BPAF	4,97	7,04	/	<LOD	6,66	/
BPF	5,08	<LOD	95,38	<LOD	<LOD	/
BPE	4,74	<LOD	97,82	<LOD	<LOD	/
BPB	<LOD	<LOD	/	1,13	<LOD	89,60
BPC	<LOD	<LOD	/	4,18	<LOD	95,86
BPZ	1,64	<LOD	62,11	6,95	<LOD	91,09
BPS	<LOD	<LOD	/	<LOD	<LOD	/
BPAP	<LOD	<LOD	/	<LOD	<LOD	/

Vrednosti bisfenolov v vzorcih LJ\_Inf1, LJ\_Eff1, LJ\_Inf2 in LJ\_Eff2 so pod 8 ng/L, kar ustreza določenim koncentracijam bisfenolov v do zdaj objavljenih raziskavah, za vse bisfenole, razen za BPF (koncentracije v odpadnih vodah do 1,43 µg/L (31, 42, 57, 58, 59) in BPS (koncentracije do 0,746 µg/L) (31). V iztokih so vse vrednosti analogov bisfenolov pod LOD, razen v primerih BPAF (koncentracije 6,66 in 7,04 ng/L) (30).

Pri BPAF opazimo, da je koncentracija v iztoku nekoliko višja kot koncentracija v vtoku, vendar je razlika minimalna in v okviru napake.

Za pare vzorcev vtokov in iztokov smo izračunali % odstranitve posamezne spojine (Preglednica XXVII). V primerih, ko je bila koncentracija v vtoku > LOD in v iztoku < LOD, smo za koncentracijo v iztoku vzeli polovico LOD za spojino (86). Rezultati kažejo, da so bili odstotki odstranitve posameznih spojin v vseh primerih, razen v primeru BPZ v paru vzorcev LJ\_Inf1 in LJ\_Eff1, nad 89 %. V primerih, ko so bile koncentracije v vzorcih vtokov in iztokov < LOD (BPB, BPC, BPS, BPAP v trenutnih vzorcih, ter BPF, BPE, BPS, BPAP v 24-urnih kompozitnih vzorcih), deleža odstranitve spojine nismo računali.

V naslednjem sklopu vzorcev imamo po 4 vzorce vtokov, vtokov z dovozi in iztokov iz CČN DK. Oznaka Inf pomeni vtoke, Eff iztoke, Inf+ pa vtoke z dovozi. Vzorci z oznako dovozi predstavljajo dovoze odpadnih vod iz industrije, ki nimajo lastnih čistilnih naprav in jih pripeljejo na čistilno napravo s cisternami. Kot kaže Preglednica XXVIII, so bili vzorci odvzeti na 4 različne dni; vsak dan so bili odvzeti vzorci vtoka, vtoka s dovozi in iztoka. Edina izjema je vzorec DK\_Eff4, ki je bil odvzet dva dni za pripadajočim vtokom in vtokom z dovozi (vzorca DK\_Inf4 in DK\_Inf+4). V Preglednici XXVIII so prikazane vsebnosti preučevanih spojin v posameznih vzorcih, prav tako pa tudi % odstranitev spojin.

Preglednica XXVIII: Koncentracije spojin v vtokih, vtoki z dovozi in iztoki CČN DK (koncentracije so v ng/L)

	<b>27. 7. 2015</b>	<b>27. 7. 2015</b>	<b>27. 7. 2015</b>		<b>1. 9. 2015</b>	<b>1. 9. 2015</b>	<b>1. 9. 2015</b>	
	sreda	sreda	sreda		torek	torek	torek	
	<b>DK_Inf1</b>	<b>DK_Inf+1</b>	<b>DK_Eff1</b>	<b>% odstranitve spojine</b>	<b>DK_Inf2</b>	<b>DK_Inf+2</b>	<b>DK_Eff2</b>	<b>% odstranitve spojine</b>
BPAF	11,4	23,0	<LOD	96,59	19,4	<LOD	9,53	/
BPF	15,1	18,7	<LOD	98,44	25,8	<LOD	<LOD	/
BPE	<b>77,8</b>	<b>91,6</b>	<LOD	99,87	<b>215</b>	3,17	0,326	89,74
BPB	16,3	15,1	0,566	96,53	17,8	0,439	<LOD	73,32
BPC	<LOD	<LOD	1,45	/	<b>388</b>	1,01	<LOD	82,80
BPZ	<b>120</b>	<b>403</b>	<LOD	99,48	<LOD	<LOD	<LOD	/
BPS	<LOD	<LOD	<LOD	/	41,5	<LOD	<LOD	/
BPAP	<LOD	<LOD	<LOD	/	<LOD	35,6	9,49	73,32
	<b>9. 9. 2015</b>	<b>9. 9. 2015</b>	<b>9. 9. 2015</b>		<b>22. 9. 2015</b>	<b>22. 9. 2015</b>	<b>24. 9. 2015</b>	
	sreda	sreda	sreda		torek	torek	četrtek	
	<b>DK_Inf3</b>	<b>DK_Inf+3</b>	<b>DK_Eff3</b>	<b>% odstranitve spojine</b>	<b>DK_Inf4</b>	<b>DK_Inf+4</b>	<b>DK_Eff4</b>	<b>% odstranitve spojine</b>
BPAF	5,08	29,8	<LOD	92,36	<LOD	8,20	<LOD	/
BPF	23,7	36,7	<LOD	99,01	7,08	15,2	<LOD	96,68
BPE	<LOD	<LOD	1,30	/	31,9	<b>238</b>	1,28	95,99
BPB	15,1	27,6	0,318	97,89	0,28	19,9	0,624	-125,23
BPC	<LOD	<LOD	<LOD	/	0,743	<LOD	<LOD	76,72
BPZ	<LOD	290	2,70	/	<b>91,2</b>	<b>199</b>	<b>85,7</b>	5,99
BPS	<LOD	<LOD	<LOD	/	<LOD	40,6	<LOD	/
BPAP	<b>99,9</b>	<b>83,7</b>	3,17	96,83	<LOD	<b>177</b>	<LOD	/

Kot je razvidno iz preglednice XXVIII, so bili vsi vzorci odvzeti ob delovnikih. Če primerjamo vzorce z dne 27. 7. 2015, opazimo, da so koncentracije v vtoku s pritoki vedno višje, kot so koncentracije samo v vtokih (razen v primerih, kjer sta obe koncentraciji pod LOD), kar smo pričakovali zaradi redčitve dolvodno od mesta vzorčenja do ČN. V iztokih so vse koncentracije spojin, z izjemo BPB in BPC, pod LOD in % odstranitve spojin so v vseh primerih nad 99 %. V vzorcu DK\_Inf+1 opazimo visoki koncentraciji BPE (91,6 ng/L) in BPZ (402 ng/L), kar pomeni, da je to eden izmed vzorcev, ki je vseboval najvišje koncentracije izbranih spojin.

V vzorcih, vzorčenih 1. 9. 2015, opazimo, da so koncentracije v vtoku višje kot koncentracije v vtoku z dovozi. Delež odstranitve spojin smo v tem primeru zato računali tako, da smo kot skupno koncentracijo vzeli koncentracijo v vtokih z dovozi. Pri vzorcu vtoka DK\_Inf2 (1. 9. 2015) vidimo, da je koncentracija BPAF v vtoku višja, kot je koncentracija v vtoku z dotoki. To lahko razložimo tako, da je spojina v vtoku v visoki koncentraciji, prav tako pa na tej poti ni bilo nobenih drugih dotokov, ki bi bili vir te spojine oziroma vir te spojine v visokih koncentracijah.

V vzorcu DK\_Inf2 opazimo visoke vsebnosti BPE in BPC. V vzorcih, vzorčenih 9. 9. 2015, izstopa visoka vsebnost BPZ v vzorcu DK\_Inf+3. Vsi % odstranitve so nad 92 %. V izračunu % odstranitve za BPZ iz vzorcev DK\_Inf4 in DK\_Eff4 vidimo, da je % odstranitve te spojine samo 5,99 %. Ta nizek odstotek težko pripisemo slabri razgradljivosti te spojine, saj lahko to vrednost primerjamo samo z vzorci, odvzetimi 27. 7. 2015. V ostalih dveh setih vzorcev je bila namreč koncentracija BPZ v vtokih pod LOD, kar onemogoča izračun % odstranitve te spojine. V vzorcu DK\_Inf+4 opazimo zelo visoke koncentracije spojin BPE, BPZ in BPAP. Ker se vse navedene spojine uporabljajo v različnih industrijah, predvsem pa kot monomerne enote za polimerne smole in ker imamo vzorce ČN, lahko sklepamo, da so tako visoke koncentracije spojin posledica velike količine pritokov iz raznih industrijskih obratov.

V vzorcih iztokov izstopa vzorec DK\_Eff4, v katerem je BPZ v koncentraciji 85,7 ng/L. Koncentracije BPZ v vzorcih, vzorčenih med 22. 9. 2015 in 24. 9. 2015, so splošno gledano visoke, zato v tem primeru tega ne moremo pripisati naključju. BPZ je temperaturno zelo stabilna spojina in se uporablja pri izdelavi polikarbonatne plastike (49). Iz preglednic XXIII in XXIV je razvidno, da sta največja vira BPZ izmed dotokov na CČN

DK vzorca DK\_Meat in DK\_Trash, ki sta odpadni vodi iz mesne industrije in deponije. V mesni industriji bi lahko bil vir plastična ovojnina, v katero pakirajo mesne izdelke, v deponijo pa se zbira mnogo raznovrstnih odpadkov, ki so lahko vir teh spojin v izcednih vodah iz deponije.

Če se na splošno osredotočimo na % odstranitve posameznih spojin v vzorcih odpadnih vod, opazimo, da izstopajo predvsem vzorci, odvzeti 1. 9. 2015, in sicer v tem, da so % odstranitve sicer konstantni, med 70 % in 90 %, toda dosledno pod 90 % za BPE, BPB, BPC in BPAP. To velja tudi v primeru, v katerem smo za izračun % odstranitve uporabili vzorec DK\_Inf+2, ker je imel vzorec DK\_Inf2 nepričakovano višje koncentracije spojin. BPZ ima v enem primeru (vzorci, odvzeti 27. 7. 2015) odstotek odstranitve nad 99 %, v drugem primeru (vzorci, odvzeti 22. 9. 2015 in 24. 9. 2015) pa komaj okoli 6 %, v preostalih dveh primerih (vzorci, odvzeti 1. 9. 2015 in 9. 9. 2015) pa % nismo mogli izračunati, zato sklepamo, da je v primeru BPZ razgradnja zelo variabilna. Ker v pregledu literature glede njegove razgradnje nismo naši nobenih podatkov, tega pojava ne moremo podkrepiti z literurnimi podatki. Zanimivi so tudi vzorci DK\_Inf4, DK\_Inf+4 in DK\_Eff4, pri katerih moramo spet upoštevati, da niso bili vsi odvzeti na isti dan, kar je mogoče vzrok za nekoliko nenavadne rezultate. Odstranitev BPZ je bila naprimer zgolj 6 %. V primeru BPB pa smo sicer lahko izračunali % odstranitve, vendar je le-ta negativen, saj je koncentracija v vtoku nižja kot v iztoku. Vzrok bi lahko bilo trenutno vzorčenje, kjer se pogosto dogodi, da je spojina prisotna ob času vzorčenja v iztoku, v vtoku pa ne. V Preglednici XXIX so prikazane povprečne koncentracije proučevanih spojin v vtokoih, vtokih z dovozi industrij in iztokih iz različnih dni za CČN DK ter ustrezeni RSD-ji. Povprečna koncentracija je aritmetična sredina, pridobljena s seštevkom koncentracij ustreznih vzorcev in deljenjem s številom vzorcev.

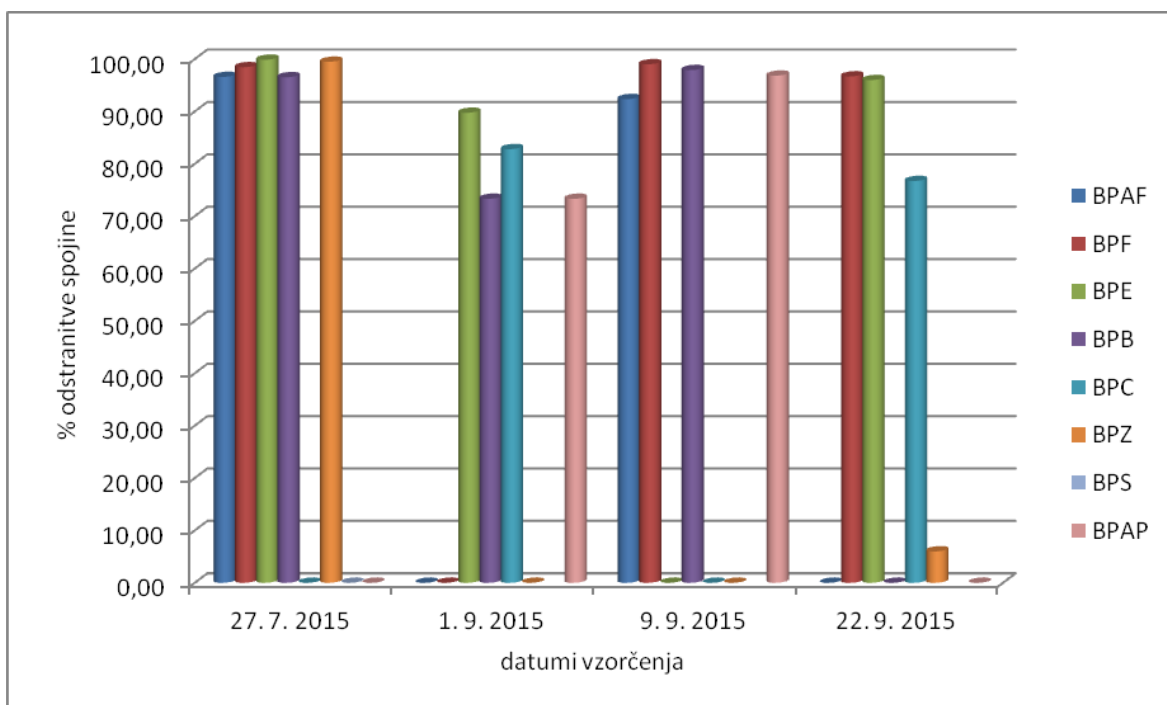
**Preglednica XXIX: Povprečne koncentracije spojin v vzorcih, odvzetih na različne dni v vtokih, vtokih s pritoki in iztokih, ter ustrezeni RSD-ji (koncentracije so v ng/L, RSD v %)**

spojina	vtoki (povp. conc.)	RSD	vtoki + dovozi (povp. conc.)	RSD	iztoki (povp. conc.)	RSD
BPAF	11,9	59,9	20,3	54,3	9,53	/
BPF	17,9	47,9	23,5	49,2	< LOD	//
BPE	108	88,0	111	107	0,967	57,4
BPB	12,4	65,8	15,8	72,6	0,503	32,4
BPC	194	141	1,0	/	1,45	/
BPZ	105	19,2	297	34,2	44,2	133
BPS	41,5	/	40,6	/	< LOD	//
BPAP	99,9	/	98,8	72,9	6,33	70,6

\*\* / - samo ena koncentracija > LOD, // - vse koncentracije < LOD

Povprečne koncentracije spojin v vtokih, vtokih z dovozi iz različnih obratov in iztokih ustrezano pričakovanju, da je vsebnost posameznih spojin v vtoku z dovozi višja kot v vtokih, obe koncentraciji pa sta tudi višji kot vsebnost v iztokih. Vzrok je verjetno tudi v tem, da pridejo med točko, kjer je bil vzorčen vtok in iztok, dodani še dovozi iz obratov. Pri BPC se pojavi anomalija, saj je povprečna koncentracija v vtokih z dotoki veliko nižja kot povprečna koncentracija v vtokih in nekoliko nižja kot povprečna koncentracija v iztokih. Pri BPS nismo mogli izračunati RSD v nobenem primeru, ker je bil v vtokih in vtokih z dovozi BPS nad LOD zaznan samo enkrat, v iztokih pa je bila koncentracija vedno pod LOD. Vidimo, da so RSD zelo visoke, kar pomeni, da koncentracije zelo nihajo, kar lahko pripišemo temu, da vzorci niso bili odvzeti na isti dan in ob istem času ter na isti način.

Na Sliki 12 je prikazana grafična primerjava % odstranitve spojin za vsak dan.



Slika 12: Odstranjevanje posameznih spojin med postopkom čiščenja na ČČN DK

Za BPS nismo mogli izračunati % odstranitve spojine, saj sta bili koncentraciji v vtoku in iztoku vedno pod LOD; v vzorcih, vzorčenih 1. 9. 2015, sta bili to koncentraciji v iztoku in v vtoku z dovozi. Za BPZ smo lahko izračunali % odstranitve dvakrat, vendar gre v teh primerih za dva različna koncentracijska razreda, zato ne moremo zaključiti, da je obstoječe čiščenje CČN DK neučinkovito oz. manj učinkovito za to spojino in da iz tega izvira visoka variabilnost, ki je dobro razvidna iz Slike 12. Prav tako pa že majhna razlika v količini odstranjene spojine pomeni veliko razliko v % odstranitve (zaradi nizkih koncentracij), kar tudi prispeva k variabilnosti rezultatov.

V nadaljevanju (Preglednica XXX) obravnavamo vtoke in iztoke preostalih treh ČN, to so Novo mesto, Golnik in Šaleška dolina. Vsi vzorci so bili 24-urni časovno proporcionalni vzorci. CČN ŠD (vzorci iz Velenja) je bila zgrajena leta 1990 in od takrat še ni bila obnovljena. CČN LJ je bila posodobljena leta 2006, CČN DK pa med letoma 2014 in 2016. CČN LJ in CČN DK imata isti način čiščenja, tj. mehansko-biološko filtracijo z anaerobno sterilizacijo. ČN GO uporablja samo mehansko-biološko filtracijo, CČN ŠD uporablja biofiltracijo, CČN NM pa uporablja membransko-biološki reaktor. CČN GO je stara več kot 40 let in ni bila nikoli obnovljena.

[Preglednica XXX: Koncentracije spojin v vzorcih \(koncentracije v ng/L\), pridobljenih v vtokih in iztokih CČN NM, CČN ŠD in ČN G](#)

	6. 8. 2015	7. 8. 2015		28. 8. 2015	28. 8. 2015		/	/	
	NM_Inf	NM_Eff	% ods.	GO_Inf	GO_Eff	% ods.	VE_Inf	VE_Eff	% ods.
BPAF	<LOD	<LOD	/	<LOD	<LOD	/	<LOD	<LOD	/
BPF	6,15	<LOD	96,2	<LOD	<LOD	/	<LOD	<LOD	/
BPE	<LOD	2,83	/	<LOD	5,62	/	<LOD	0,28	/
BPB	0,295	<LOD	60,3	2,65	1,51	43,2	0,431	0,192	55,4
BPC	11,8	<LOD	98,5	<LOD	<LOD	/	<LOD	<LOD	/
BPZ	4,66	<LOD	86,7	<LOD	<LOD	/	<LOD	<LOD	/
BPS	<LOD	<LOD	/	<LOD	<LOD	/	1,95	<LOD	91,9
BPAP	<LOD	<LOD	/	3,26	2,08	36,1	<LOD	<LOD	/

V vzorcih čistilnih naprav CČN NM, ČN G in ČN ŠD opazimo veliko nižje vsebnosti spojin kot v vzorcih CČN LJ in CČN DK (Preglednici XXIV in XXV), kar lahko pripisemo manjši poseljenosti in industrijsko manj obremenjenemu okolju. To lahko sklepamo tudi glede na podatke, prikazane v Preglednici XV, ki kažejo, da je skupno število populacijskih enot za te 3 ČN manjše kot število populacijskih enot CČN LJ in DK (vsake posebej). Ker so vsebnosti večine spojin na vtokih in iztokih teh ČN pod LOD, deleža odstranitve posameznih spojin v večini primerov ne moremo izračunati. Vseeno pa sklepamo, da je v primerjavi s CČN LJ in CČN DK % odstranitve spojin precej nižji in zelo niha (v LJ okoli 99 %, v Domžalah okoli 99 %, v vzorcih iz Novega mesta okoli 80 %, v vzorcih iz Golnika okoli 40 %, v vzorcih iz Velenja pa okoli 70 %), kar lahko pripisemo različnim tehnologijam čiščenja in letnici izgradnje oz. nadgraditve posamezne čistilne naprave. Poleg tega smo v veliko primerih obravnavali za vtok in iztok samo en vzorec, kar ne zadostuje za utemeljene zaključke glede uspešnosti čiščenja posamezne čistilne naprave.

## 5. SKLEP

V okviru magistrske naloge smo za določanje osmih nadomestkov BPA v odpadnih vodah optimizirali in validirali analizno metodo, ki je vključevala ekstrakcijo na trdnem nosilcu, derivatizacijo in določitev s plinsko kromatografijo, sklopljeno z masno spektrometrično detekcijo.

Analizni postopek je smo optimizirali s povečanjem volumna vzorca ter z uporabo večjega števila paralelkih vzorcev pri validaciji. Derivatizacijo smo optimizirali z zamenjavo derivatizacijskega sredstva *MTBSTFA* z uporabo istega derivatizacijskega sredstva z dodatkom katalizatorja *t-BDMCS* (1 %). To se je izrazilo v večjih površinah kromatografskih vrhov, višjim razmerjem med površinami naših bisfenolov in površino internega standarda in posledično nižjim LOD, kar je pripomoglo k boljši ločljivosti in večji zanesljivosti metode. V postopku validacije metode smo validirali parametre linearnosti, natančnosti, izkoristka metode, ponovljivosti metode in instrumenta ter LOD in LOQ.

Določene vrednosti LOD so primerljive z literurnimi podatki (0,043 in 2,43 ng/L) in so bile od 0,207 do 1,24 ng/L za izbrane spojine. Optimizirano analizno metodo smo uporabili za določitev vsebnosti izbranih bisfenolov v 47 vzorcih odpadne vode iz petih slovenskih čistilnih naprav z različno konfiguracijo in letnico izdelave/nadgradnje. V naših vzorcih smo določili vseh 8 bisfenolov v vsaj enem vzorcu, medtem ko v pregledu literature vsebnost BPB, BPC, BPZ in BPAP nad LOD v analizah odpadnih voda nismo zasledili, pri čemer BPC in BPAP sploh nista bila vključena v analizne postopke njihove določitve v odpadnih vodah. To je zanimivo, ker je po pregledu naših rezultatov prav BPC tisti analog, ki je koncentracijsko najbolj izstopal z vsebnostjo 2,56 µg/L v vzorcu iz obrata predelovalne mesne industrije (LJ\_Meat). Pojavnost bisfenolov v koncentracijskem redu µg/L je namreč bolj pričakovana za BPA kot za njegove nadomestke, ki so pričakovani v velikostnem razredu ng/L. Visoke vsebnosti smo določili tudi za BPZ z 403 ng/L v vzorcih vtoka na to ČN v primeru, ko so bili v vzorec zajeti tudi dovozi s cisternami (DK\_Inf+1).

Bisfenoli, za katere najdemo v literaturi objavljene vsebnosti v odpadnih vodah, so BPAF, BPF, BPE in BPS. Najbolj razširjena analoga sta BPF in BPS. Njune vsebnosti v odpadnih vodah so v velikostnem razredu µg/L (za BPS 0–0,746 µg/L, za BPF 0–1,46 µg/L) in so primerljive z našimi določenimi vsebnostmi. Najvišja vsebnost za BPF v naših vzorcih je

bila sicer nižja od najvišje vsebnosti v pregledu literature in sicer je bila najvišja koncentracija 0,958 µg/L v iztoku obrata kemične čistilnice oblačil (DK\_Cloth), prav tako smo zasledili nižje vsebnosti od literturnih za BPS, ki je imel najvišjo koncentracijo 164 ng/L v vzorcu iz obrata predelovalne mesne industrije (LJ\_Meat). BPE in BPAF imata v pregledu literature pričakovano koncentracijo v velikostnem razredu ng/L (BPE 0–8,06 ng/L, BPAF 0–13,2 ng/L). V naši raziskavi pa so bile koncentracije za obe spojini precej višje, pri čemer moramo upoštevati, da je bila koncentracija za BPAF (115 ng/L v DK\_Cloth) absolutno najvišja, sledi pa ji koncentracija 27,7 ng/L (DK\_Kom), ki pa je primerljiva z literurnimi vrednostmi. BPE ima v naših analizah najvišjo vsebnost 292 ng/L (DK\_Meat), vse ostale koncentracije pa so zelo enakomerno razporejene med LOD (0,207 ng/L) in 292 ng/L. Pomembno je poudariti, da smo v naši raziskavi najvišje vsebnosti določili v iztokih iz industrijskih obratov, ki predstavljajo bolj skoncentrirano odpadno vodo, literurni podatki pa se nanašajo večinoma samo na iztoke čistilnih naprav, zato so vsebnosti v naši raziskavi pričakovano višje.

Na podlagi naših izsledkov in literurne podlage zaključujemo, da v literaturi primanjkuje raziskav, ki se ne osredotočijo samo na BPA kot edini oz. glavni bisfenol. Glede na trenutno zakonodajo pričakujemo, da se bo v prihodnosti zvišala uporaba drugih analogov, morda bo celo prišlo do sinteze novih spojin v ta namen. Za ilustracijo vzemimo npr. BPC in BPZ, ki smo ju v naših analizah določili v zelo visokih koncentracijah (BPC – 2558 ng/L, BPZ – 403 ng/L), v pregledu literature pa sta bila v raziskavah komaj omenjena, npr. v pregledu vsebnosti bisfenolov v okoljskih vzorcih, medtem ko v pregledu učinkov analogov BPA na endokrini sistem sploh nista bila omenjena.

V prihodnje je pomembno slediti napredku industrije na tem področju in spremljati uporabo novih spojin v proizvodnji plastičnih materialov ter spremljati njihove vsebnosti in učinke na okolje. Pomemben je tudi razvoj sklopljenih metod kromatografije in masne spektrometrije, ki bodo omogočile nizke meje določitve in učinkovito hkratno določitev čimvečjega števila bisfenolov. Prav tako je pomemben tudi načrt sistematičnih raziskav učinkov teh spojin na endokrini sistem različnih organizmov (npr. ribe zebrice, zelene alge, bakterije *Vibrio fischeri*, celične linije), določitev maksimalnega dovoljenega dnevnega vnosa, kot je že določeno za BPA, nujno potrebno pa je morda tudi opozorilo na plastični ovojnini živil oz. na pločevinkah, da lahko ti materiali izlužujejo analoge BPA v živila.

## VIRI

1. Regan F., Fogarty B.: Endocrine disrupting chemicals, Encyclopaedia of Analytical Chemistry, Wiley, USA, 2005, 495–502
2. <https://previews.123rf.com/images/annyart/annyart1707/annyart170700087/83045014-male-endocrine-system-human-anatomy-human-silhouette-with-detailed-internal-organs-vector-illustrati.jpg> (dostopano: 4. 3. 2018)
3. Know Your Estrogens and Your Body, <https://www.kingsrxandwellness.com/wp-content/uploads/2014/01/estrogen.jpeg> (dostopano: 4. 3. 2018)
4. Progesteron-Strukturformel, <https://de.depositphotos.com/13258948/stock-illustration-progesterone-structural-formula.html> (dostopano: 8. 9. 2018)
5. Yang O., Kim H.L., Weon J.-I., Seo Y.R.: Endocrine-disrupting Chemicals: Review of Toxicological Mechanisms Using Molecular Pathway Analysis, *Journal of Cancer Prevention*, 2015, 20, 12–24
6. Ishikawa S.: Possible Roles of B1 Cells and Environmental Estrogens (Endocrine Disruptors) in the Development of Autoimmune diseases, *Allergology International*, 2005, 54, 499–505
7. Gramec Skledar D., Schmidt J., Fic A., Klopčič I., Trontelj J., Sollner Dolenc M., Finel M., Peterlin Mašič L.: Influence of metabolism on endocrine activities of bisphenol S, *Chemosphere*, 2016, 157, 152–159
8. Ruan T., Liang D., Song S., Song M., Wang H., Jiang G.: Evaluation of the in vitro estrogenicity of emerging bisphenol analogs and their respective estrogenic contributions in municipal sewage sludge in China, *Chemosphere*, 2015, 124, 150–155
9. Kwon B., Kho Y., Kim P.-G., Ji K.: Thyroid endocrine disruption in male zebrafish following exposure to binary mixture of bisphenol AF and sulfametoxazole, *Environmental Toxicology and Pharmacology*, 2016, 48, 168–174
10. Shi J., Jiao Z., Zheng S., Li M., Zhang J., Feng Y., Yin J., Shao B.: Long-term effects of Bisphenol AF (BPAF) on hormonal balance and genes of hypothalamus-pituitary-gonad axis and liver of zebrafish (*Danio rerio*), and the impact on offspring, *Chemosphere*, 2015, 128, 252–257

11. Song M., Liang D., Liang Y., Chen M., Wang F., Wang H., Jiang G.: Assessing developmental toxicity and estrogenic activity of halogenated bisphenol A on zebrafish (*Danio rerio*), *Chemosphere*, 2014, 112, 275–281
12. Tišler T., Krel A., Gerželj U., Erjavec B., Sollner Dolenc M., Pintar A.: Hazard identification and risk characterization of bisphenols A, F and AF to aquatic organisms, *Environmental Pollution*, 2016, 212, 472–479
13. Al-Saleh I., Elkhatib R., Al-Rajoudi T., Al-Qudaihi G.: Assessing the concentration of phthalate esters (PAEs) and bisphenol A (BPA) and the genotoxic potential of treated wastewater (final effluent) in Saudi Arabia, *Science of the Total Environment*, 2017, 578, 440–451
14. Eladak S., Grisin T., Moison D., Guerquin M.-J., N'Tumba-Byn T., Pozzi-Gaudin S., Benachi A., Livera G., Rouiller-Fabre V., Habert R.: A new chapter in the bisphenol A story: bisphenol S and bisphenol F are not safe alternatives to this compound, *Fertil Steril*, 2015, 103, 11–21
15. Kuruto-Niwa R., Nozawa R., Miyakoshi T., Shiozawa T., Terao Y.: Estrogenic activity of alkylphenols, bisphenol S, and their chlorinated derivatives using a GFP expression system, *Environmental Toxicology and Pharmacology*, 2005, 19, 121–130
16. Richard J., Boergers A., vom Eiser C., Bester K., Tuerk J.: Toxicity of the micropollutants Bisphenol A, Ciprofloxacin, Metoprolol and Sulfametoxazole in water samples before and after the oxidative treatment, *International Journal of Hygiene and Environmental Health*, 2004, 217, 506–514
17. Kang J.-H., Kondo F., Katayama Y.: Human exposure to bisphenol A, *Toxicology*, 2006, 226, 79–89
18. Staples C.A., Dorn P.B., Klecka G.M., O'Block S.T., Harris L.R.: A review of the environmental fate, effects, and exposures of bisphenol A, *Chemosphere*, 1998, 36, 2149–2173
19. Rosenmai A. K., Dybdahl M., Pedersen M., van Vugt-Lussenburg B.M.A., Vedelby E.B., Taxvig C., Vinggaard A.M.: Are Structural Analogues to Bisphenol A Safe Alternatives?, *Toxicological Sciences*, 2014, 139, 35–37
20. Caliendo H.: History of BPA, <http://www.packagingdigest.com/food-safety/history-bpa> (dostopano: 6. 3. 2018)

21. Goldinger D.M., Demierre A.-L., Zoller O., Rupp H., Reinhard H., Magnin R., Becker T.W., Bourqui-Pittet M.: Endocrine activity of alternatives to BPA found in thermal paper in Switzerland, *Regulatory Toxicology and Pharmacology*, 2015, 71, 453–462
22. Fattore M., Russo G., Barbato F., Grumetto L., Albrizio S.: Monitoring of bisphenols in canned tuna from Italian markets, *Food and Chemical Toxicology*, 2015, 83, 68–75
23. COMMISSION REGULATION (EU) No 2018/213 of 23 February 2018 on plastic materials and articles intended to come into contact with food, <https://eur-lex.europa.eu/legal-content/EN/TXT/HTML/?uri=CELEX:32018R0831&qid=1531707237536&from=EN> (dostopano: 10. 6. 2018)
24. COMMISSION REGULATION (EU) No 10/2011 of 14 January 2011 on plastic materials and articles intended to come into contact with food, <https://eur-lex.europa.eu/legal-content/EN/TXT/PDF/?uri=CELEX:32011R0010&from=EN> (dostopano: 10. 6. 2018)
25. Bourgin M., Bichon E., Antignac J.-P., Monteau F., Leroy G., Barritaud L., Chachignon M., Ingrand V., Roche P., Le Bizec B.: Chlorination of bisphenol A: Non-targeted screening for the identification of transformation products and assessment of estrogenicity in generated water, *Chemosphere*, 2013, 93, 2814–2822
26. Chen P.-J., Linden K.G., Hinton D.E., Kashiwada S., Rosenfeldt E.J., Kullman S.W.: Biological assessment of bisphenol A degradation in water following direct photolysis and UV advanced oxidation, *Chemosphere*, 2006, 65, 1094–1102
27. Yu X., Xue J., Jao H., Wu Q., Venkatesan A.K., Halden R.U., Kannan K.: Occurrence and estrogenic potency of eight bisphenol analogs in sewage sludge from the U.S. EPA targeted national sewage sludge survey, *Journal of Hazardous Materials*, 2015, 299, 733–739
28. Matsushima A., Liu X., Okada H., Shimohigashi M., Shimohigashi Y.: Bisphenol AF is a Full Agonist for the Estrogen Receptor ER $\alpha$ , but a Highly Specific Antagonist for ER $\beta$ , *Environmental Health Perspectives*, 2010, 118, 1267–1272
29. Cunha S.C., Fernandes J.O.: Quantification of free and total bisphenol A and bisphenol B in human urine by dispersive liquid-liquid microextraction (DLLME) and heart-cutting multidimensional gas chromatography-mass spectrometry (MD-GC/MS), *Talanta*, 2010, 83, 117–125

30. Schmidt J., Kotnik P., Trontelj J., Knez Ž., Peterlin Mašič L.: Bioactivation of bisphenol A and its analogs (BPF, BPAF, BPZ and DMBPA) in human liver microsomes, *Toxicology in Vitro*, 2013, 27, 1267–1276
31. Sun Q., Wang Y., Li Y., Ashfaq M., Dai L., Xie X., Yu C.-P.: Fate and mass balance of bisphenol analogues in wastewater treatment plants in Xiamen City, China, *Environmental Pollution*, 2017, 225, 542–549
32. Erjavec B., Hudoklin P., Perc K., Tišler T., Sollner Dolenc M., Pintar A.: Glass fiber-supported TiO<sub>2</sub> photocatalyst: Efficient mineralization and removal of toxicity/estrogenicity of bisphenol A and its analogs, *Applied Catalysis B: Environmental*, 2016, 183, 149–158
33. Sajiki J.: Decompositon of bisphenol-A (BPA) by radical oxygen, *Environment International*, 2001, 27, 315–320
34. González-Parra E., Herrero J.A., Elewa U., Bosch R.J., Arduána O., Egido J.: Bisphenol A in Chronic Kidney Disease, *International Journal of Nephrology*, 2013, 2013, 9 pages
35. Eid J.I., Eissa S.M., El-Ghor A.A.: Bisphenol A induces oxidative stress and DNA damage in hepatic tissue of female rat offspring, *The Journal of Basic & Applied Zoology*, 2015, 71, 10–19
36. Özlem Ç.A., Hatice P.: Effects of bisphenol A on the Embryonic Development of Sea Urchin (*Paracentrotus lividus*), *Environmental Toxicology*, 2008, 23, 387–392
37. Tang Z., Peng S., Hu S., Hong S.: Enhanced removal of bisphenol-AF by activated carbon-alginate beads with cetyltrimethyl ammonium bromide, *Journal of Colloid and Interface Science*, 2017, 495, 191–199
38. Regueiro J., Breidbach A., Wenzl T.: Derivatization of bisphenol A and its analogues with pyridine-3-sulfonyl chloride: multivariate optimization and fragmentation patterns by liquid chromatography/Orbitrap mass spectrometry, *Rapid Communications in Mass Spectrometry*, 2015, 29, 1473–1484
39. Ike M., Chen M.-Y., Danzl E., Sei K., Fujita M.: Biodegradation of variety of bisphenols under aerobic and anaerobic conditions, *Water Science & Technology*, 2006, 53, 153–159
40. Delfosse V., Grimaldi M., Pons J.-L., Boulahtouf A., le Maire A., Cavailles V., Labesse G., Bourguet W., Balaguer P.: Structural and mechanistic insights into bisphenols action provide guidelines for risk assessment and discovery of bisphenol A

substitutes, Proceedings of the National Academy of Sciences of the United States of America, 2012, 109, 14930–14935

41. Pivnenko K., Pedersen G. A., Eriksson E., Astrup T.F.: Bisphenol A and its structural analogues in household waste paper, Waste Management, 2015, 44, 39–47
42. Fromme H., Küchler T., Otto T., Pilz K., Müller J., Wenzel A.: Occurrence of phthalates and bisphenol A and F in the environment, Water Research, 2002, 36, 1429–1438
43. Chen D., Kannan K., Tan H., Zheng Z., Feng Y.-L., Wu Y., Widelka M.: Bisphenol Analogues Other Than BPA: Environmental Occurrence, Human Exposure, and Toxicity-A Review., Environmental Science & Technology, 2016, 50, 5438–5453
44. Wang H., Zhao Y.P., Zhu Y.J., Shen J.Y.: Spectral properties of bisphenol F based on quantum chemical calculations, Vacuum, 2016, 128, 198–204
45. Cao G., Lu J., Wang G.: Photolysis kinetics and influencing factors of bisphenol S in aqueous solutions, Journal of Environmental Sciences, 2012, 24, 846–851
46. Changkhamchom S., Sirivat A.: Synthesis and properties of sulfonated poly(ether ketone ether sulfone) (S-PEKES) via bisphenol S: Effect of sulfonation, Polymer Bulletin, 2010, 65, 265–281
47. Gallart-Ayala H., Núñez O., Lucci P.: Recent advances in LC-MS analysis of food-packaging contaminants, Trends in Analytical Chemistry, 2013, 42, 99–124
48. Kim M.R., Kim H.-S., Park D.-W., Lee J.-K.: Synthesis of cyclic carbonates based on diglycidyl ether of bisphenol S by quaternary ammonium salts, Reaction Kinetics and Catalysis Letters, 2001, 72, 373–381
49. Rwei S.P., Kao S.C., Liou G.-S., Cheng K.-C., Guo W.: Curing and pyrolysis of epoxy resins containing 2-(6-oxido-6H-dibenz(*c,e*)(1,2)oxaphosphorin-6-yl)-1,4-naphthalenediol or bisphenol S, Colloid & Polymer Science, 2003, 281, 407–415
50. Goyal N., Barman S., Bulasara V.K.: Quaternary ammonium salt assisted removal of genistein and bisphenol S from aqueous solution by nanozeolite NaY: Equilibrium, kinetic and thermodynamic studies, Journal of Molecular Liquids, 2016, 224, 1154–1162
51. Regueiro J., Wenzl T.: Determination of bisphenols in beverages by mixed-mode solid-phase extraction and liquid chromatography coupled to tandem mass spectrometry, Journal of Chromatography A, 2015, 1422, 230–238

52. Cacho J.I., Campillo N., Viñas P., Hernández-Córdoba M.: Stir bar sorptive extraction coupled to gas chromatography-mass spectrometry for the determination of bisphenols in canned beverages and filling liquids of canned vegetables, *Journal of Chromatography A*, 2012, 1247, 146–153
53. Wie der Plastikmüll Umwelt & Natur zerstört, <https://www.careelite.de/plastikmuell-umwelt-meer/> (dostopano: 12. 5. 2018)
54. When the Mermaids Cry: The Great Plastic Tide, <http://plastic-pollution.org> (dostopano: 12. 5. 2018)
55. Corrales J., Kristofco L.A., Steele W.B., Yates B.S., Breed C.S., Williams E.S., Brooks B.W.: Global Assessment of Bisphenol A in the Environment: Review and Analysis of Its Occurrence and Bioaccumulation, *Dose-Response*, 2015, 13(3), 1–29
56. Alidina M., Hoppe-Jones C., Yoon M., Hamadeh A.F., Li D., Drewes J.E.: The occurrence of emerging trace organic chemicals in wastewater effluents in Saudi Arabia, *Science of the Total Environment*, 2014, 478, 152–162
57. Ballesteros-Gómez A., Ruiz F.-J., Rubio S., Pérez-Bendito D.: Determination of bisphenols A and F and their diglycidyl ethers in wastewater and river water by coacervate extraction and liquid chromatography-fluorimetry, *Analytica Chimica Acta*, 2007, 603, 51–59
58. Moral A., Sicilia M.D., Rubio S., Pérez-Bendito D.: Determination of bisphenols in sewage, based on supramolecular solid-phase extraction/liquid chromatography/fluorimetry, *Journal of Chromatography A*, 2005, 1100, 8–14
59. Ruiz F.-J., Rubio S., Pérez-Bendito D.: Vesicular coacervative extraction of bisphenols and their diglycidyl ethers from sewage and river water, *Journal of Chromatography A*, 2007, 1163, 269–276
60. Lee S., Liao C., Song G.-J., Ra K., Kannan K., Moon H.-B.: Emission of bisphenol analogues including bisphenol A and bisphenol F from wastewater treatment plants in Korea, *Chemosphere*, 2015, 119, 1000–1006
61. Song S., Song M., Zeng L., Wang T., Liu R., Ruan T., Jiang G.: Occurrence and profiles of bisphenol analogues in municipal sewage sludge in China, *Environmental Pollution*, 2014, 186, 14–19
62. Kassotis C.D., Alvarez D.A., Taylor J.A., vom Saal F.S., Nagel S.C., Tillitt D.E.: Characterization of Missouri surface waters near point sources of pollution reveals

- potential novel atmospheric route of exposure for bisphenol A and wastewater hormonal activity pattern, *Science of the Total Environment*, 2015, 524-525, 384–393
63. Stachel B., Ehrhorn U., Heemken O.-P., Lepom P., Reincke H., Sawald G., Theobald N.: Xenoestrogens in the river Elbe and its tributaries, *Environmental Pollution*, 2003, 124, 497–507
64. Yang Y., Lu L., Zhang J., Yang Y., Wu Y., Shao B.: Simultaneous determination of seven bisphenols in environmental water and solid samples by liquid chromatography-electrospray tandem mass spectrometry, *Journal of Chromatography A*, 2014, 1328, 26–34
65. Yamazaki E., Yamashita N., Taniyasu S., Lam J., Lam P.K.S., Moon H.-B., Jeong Y., Kannan P., Achyuthan H., Munuswamy N., Kannan K.: Bisphenol A and other bisphenol analogues including BPS and BPF in surface water samples from Japan, China, Korea and India, *Ecotoxicology and Environmental Safety*, 2015, 122, 565–572
66. Guart A., Bono-Blay F., Borrell A., Lacorte S.: Effect of bottling and storage on the migration of plastic constituents in Spanish bottled waters, *Food Chemistry*, 2014, 156, 73–80
67. Deceuninck Y., Bichon E., Durand S., Bemrah N., Zendong Z., Morvan M.L., Marchand P., Derville-Pinel G., Antignac J.P., Leblanc J.C., Le Bizec B.: Development and validation of a specific gas chromatography tandem mass spectrometry method for the determination of bisphenol A residues in large set of food items, *Journal of Chromatography A*, 2014, 1362, 241–249
68. Grumetto L., Montesano D., Seccia S., Albrizio S., Barbato F.: Determination of Bisphenol A and Bisphenol B Residues in Canned Peeled Tomatoes by Reversed-Phase Liquid Chromatography, *Journal of Agricultural and Food Chemistry*, 2008, 56, 10633–10637
69. Česen M., Lambropoulou D., Laimou-Geraniou M., Kosjek T., Blaznik U., Heath D., Heath E.: Determination of Bisphenols and Related Compounds in Honey and Their Migration from Selected Food Contact Materials, *Journal of Agricultural and Food Chemistry*, 2016, 64, 8866–8875
70. Larsson K., Björklund K.L., Palm B., Wennberg M., Kaj L., Lindh C.H., Jönsson B.A.G., Berglund M.: Exposure determinants of phthalates, parabens, bisphenol A and triclosan in Swedish mothers and their children, *Environment International*, 2014, 73, 323–333

71. Lee Y.J., Ryu H.-Y., Kim H.-K., Min C.S., Lee J.H., Kim E., Nam B.H., Park J.H., Jung J.Y., Jang D.D., Park E.Y., Lee K.-H., Ma J.-Y., Won H.-S., Im M.-W., Leem J.-H., Hong Y.-C., Yoon H.-S.: Maternal and fetal exposure to bisphenol A in Korea, *Reproductive Toxicology*, 2008, 25, 413–419
72. Liao C., Liu F., Alomirah H., Loi V.D., Mohd M.A., Moon H.-B., Nakata H., Kannan K.: Bisphenol S in Urine from the United States and Seven Asian Countries: Occurrence and Human Exposures, *Environmental Science and Technology*, 2012, 46, 6860–6866
73. Gas Chromatography Mass Spectrometry (GC/MS) Information,  
<https://www.thermofisher.com/no/en/home/industrial/mass-spectrometry/mass-spectrometry-learning-center/gas-chromatography-mass-spectrometry-gc-ms-information.html> (dostopano: 12. 5. 2018)
74. Gas Chromatography Mass Spectrometry (GC/MS),  
<http://www.bris.ac.uk/nerclsmsf/techniques/gcms.html> (dostopano: 12. 5. 2018)
75. Mathias J.: How Stuff Works: GC/MS Analysis, 2014,  
<https://www.innovatechlabs.com/newsroom/642/stuff-works-gcms-analysis/> (dostopano: 12. 5. 2018)
76. Dr. Bhanot D.: Benefits of Split/Splitless Injection, 2014, <http://lab-training.com/2014/02/06/benefits-of-split-splitless-injection-in-capillary-gas-chromatography/> (dostopano: 12. 5. 2018)
77. The CHROMacademy Essential Guide to Understanding Electron Ionization for GC-MS, 2011, [https://www.chromacademy.com/Electron\\_Ionization\\_for\\_GC-MS\\_Essential\\_Guide.html?tpm=1\\_2](https://www.chromacademy.com/Electron_Ionization_for_GC-MS_Essential_Guide.html?tpm=1_2) (dostopano: 12. 5. 2018)
78. Zemljevidi Republike Slovenije,  
[http://www.hervardi.com/zemljevidi/slovenija\\_relief.jpg](http://www.hervardi.com/zemljevidi/slovenija_relief.jpg) (dostopano: 12. 5. 2018)
79. Česen M., Lenarčič K., Mislej V., Levstek M., Kovačič A., Cimrmančič A., Uranjek N., Kosjek T., Heath D., Sollner Dolenc M., Heath E.: The occurrence and source identification of bisphenol compounds in wastewaters, *Science of The Total Environment*, 2018, 616–617, 744–752
80. Česen M., Lenarčič K., Mislej V., Stražar M., Sollner Dolenc M., Kovačič A., Gys C., Lambropoulos D.A., Laimou-Geraniou M., Blaznik U., Snoj Tratnik J., Mazej D., Horvat M., Covaci A., Heath D.J., Kosjek T., Heath E.: BPA and its alternatives in environment, food and biological fluids. V: Program book and abstracts, 46th

International Symposium on High Performance Liquid Phase Separations and Related Techniques, HPLC 2017, November 5–9, 2017, Jeju, Korea

81. Česen M., Lenarčič K., Mislej V., Stražar M., Sollner Dolenc M., Kovačič A., Heath D.J., David John, Gys C., Lambropoulo D.A., Laimou-Geraniou M., Blaznik U., Covaci A., Heath E.: The occurrence and fate of bisphenols in the environment and food. V: 10th Micropol & Ecohazard Conference 2017, 17–20 September, 2017, Vienna, Austria
82. Kosjek T., Česen M., Lenarčič K., Mislej V., Stražar M., Sollner Dolenc M., Kovačič A., Heath D.J., Druškovič J., Prosen H., Gys C., Covaci A., Heath E.: The occurrence and fate of bisphenols in the environment and food. V: Sollner Dolenc M. (ur.), Peterlin-Mašič L. (ur.): Okoljska onesnažila in komunikacija tveganja = Environmental pollutants and risk communication : [zbornik povzetkov], 3. kongres Slovenskega toksikološkega društva, Ljubljana, 28. 9. 2017
83. Kosjek T., Česen M., Lenarčič K., Mislej V., Stražar M., Sollner Dolenc M., Kovačič A., Heath D.J., Druškovič J., Prosen H., Gys C., Covaci A., Heath E.: Pojavnost in kroženje bisfenolov med čiščenjem odpadnih vod = Occurrence and fate of bisphenols during wastewater treatment. V: Sollner Dolenc M. (ur.), Peterlin-Mašič L. (ur.): Okoljska onesnažila in komunikacija tveganja = Environmental pollutants and risk communication : [zbornik povzetkov], 3. kongres Slovenskega toksikološkega društva, Ljubljana, 28. 9. 2017
84. <https://www.linscottsdirectory.com/products/covachem-llc/MTBSTFA-with-1-TBDMCS-3529118> (dostopano: 31. 7. 2018)
85. APPENDIX 1 – ORA Validation and Verification Guidance for Human Drug Analytical Methods,  
<https://www.fda.gov/downloads/scienceresearch/fieldscience/laboratorymanual/ucm292774.pdf> (dostopano: 16. 8. 2018)
86. Nordic Council of Ministers, Recommendations for Intake Calculations of Food Additives and Contaminants, TemaNord, 2001, 574, Nordic Council of Ministers, Copenhagen (dostopano: 12. 5. 2018)

87. Ballesteros O., Zafra A., Navalón A., Vílchez J.-L.: Sensitive gas chromatographic–mass spectrometric method for the determination of phthalate esters, alkylphenols, bisphenol A and their chlorinated derivatives in wastewater samples, *Journal of Chromatography A*, 2006, 1121, 154–162
88. U.S. National Library for Biotechnology Information 2001, PubChem (Open Chemistry Database), <https://pubchem.ncbi.nlm.nih.gov/> (dostopano: 7. 3. 2018)
89. Jin H., Zhu L.: Occurrence and partitioning of bisphenol analogues in water and sediment from Liaohe River Basin and Taihu Lake, China., *Water Research*, 2016, 103, 343–351

## PRILOGA 1

### FIZIKALNO-KEMIJSKE LASTNOSTI BISFENOLOV

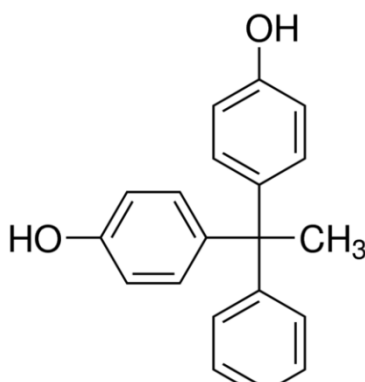
Preglednica XXXI: Strukturna formula in fizikalno-kemijske lastnosti BPA

BPA	FIZIKALNO-KEMIJSKE LASTNOSTI	VIRI
	molska masa (g/mol)	228.29
	pKa	9.7
	topnost v vodi (mg/L)	120–300 87, 12, 88
	logKow (mL/g)	3.43
	logKoc (mg/L)	3.8
	AOt1/2 (dni)	0.067
	BCF (kg/L)	172.7
	BAF (kg/L)	172.8

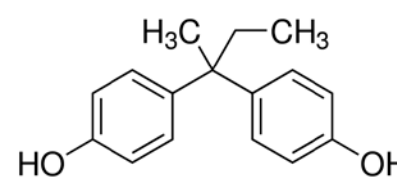
Preglednica XXXII: Strukturna formula in fizikalno-kemijske lastnosti BPAF

BPAF	FIZIKALNO-KEMIJSKE LASTNOSTI	VIRI
	molska masa (g/mol)	336.23
	pKa	8.74
	topnost v vodi (mg/L)	ni na voljo
	logKow (mL/g)	4.47
	logKoc (mg/L)	3.7
	AOt1/2 (dni)	0.067
	BCF (kg/L)	639
	BAF (kg/L)	643

Preglednica XXXIII: Struktura formula in fizikalno-kemijske lastnosti BPAP

BPAP	FIZIKALNO-KEMIJSKE LASTNOSTI		VIRI
	molska masa (g/mol)	290.36	43
	pKa	10.2	43
	topnost v vodi (mg/L)	ni na voljo	/
	logKow (mL/g)	4.86	43
	logKoc (mg/L)	4.6	88
	AOt1/2 (dni)	0.063	43
	BCF (kg/L)	250	43
	BAF (kg/L)	250	43

Preglednica XXXIV: Struktura formula in fizikalno-kemijske lastnosti BPB

BPB	FIZIKALNO-KEMIJSKE LASTNOSTI		VIRI
	molska masa (g/mol)	242.31	43
	pKa	10.3	43
	topnost v vodi (mg/L)	ni na voljo	/
	logKow (mL/g)	4.13	43
	logKoc (mg/L)	ni na voljo	/
	AOt1/2 (dni)	0.066	43
	BCF (kg/L)	170	43
	BAF (kg/L)	170	43

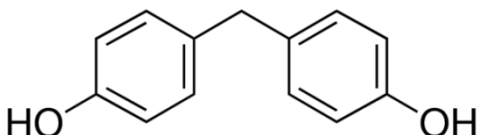
Preglednica XXXV: Strukturna formula in fizikalno-kemijske lastnosti BPC

BPC	FIZIKALNO-KEMIJSKE LASTNOSTI		VIRI
<p>The chemical structure shows a central carbon atom bonded to two methyl groups (<math>\text{CH}_3</math>) and two hydroxyl groups (<math>\text{OH}</math>). Each methyl group is attached to a phenyl ring, which in turn has a hydroxyl group at the para position.</p>	molska masa (g/mol)	256.34	43
	pKa	ni na voljo	/
	topnost v vodi (mg/L)	ni na voljo	/
	$\log K_{\text{ow}}$ (mL/g)	4.74	43
	$\log K_{\text{oc}}$ (mg/L)	ni na voljo	/
	$\text{AO}_{\text{t}1/2}$ (dni)	0.054	43
	BCF (kg/L)	113	43
	BAF (kg/L)	113	43

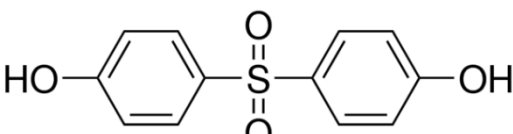
Preglednica XXXVI: Strukturna formula in fizikalno-kemijske lastnosti BPE

BPE	FIZIKALNO-KEMIJSKE LASTNOSTI		VIRI
<p>The chemical structure shows a central carbon atom bonded to a methyl group (<math>\text{CH}_3</math>) and two hydroxyl groups (<math>\text{OH}</math>). Each methyl group is attached to a phenyl ring.</p>	molska masa (g/mol)	214.26	43
	pKa	10.1	43
	topnost v vodi (mg/L)	ni na voljo	/
	$\log K_{\text{ow}}$ (mL/g)	3.19	43
	$\log K_{\text{oc}}$ (mg/L)	4.7	88
	$\text{AO}_{\text{t}1/2}$ (dni)	0.065	43
	BCF (kg/L)	45.6	43
	BAF (kg/L)	45.6	43

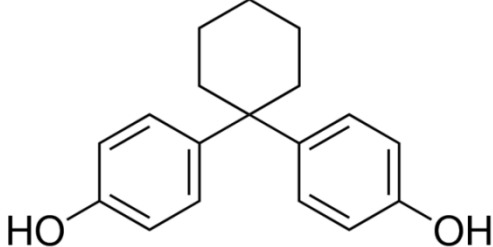
Preglednica XXXVII: Struktura formula in fizikalno-kemijske lastnosti BPF

BPF	FIZIKALNO-KEMIJSKE LASTNOSTI		VIRI
	molska masa (g/mol)	200.23	43
	pKa	9.91	43
	topnost v vodi (mg/L)	190–360	87, 12, 88
	logK <sub>ow</sub> (mL/g)	3.06	43
	logK <sub>oc</sub> (mg/L)	ni na voljo	/
	AO <sub>t1/2</sub> (dni)	0.065	43
	BCF (kg/L)	28.0	43
	BAF (kg/L)	28.0	43

Preglednica XXXVIII: Struktura formula in fizikalno-kemijske lastnosti BPS

BPS	FIZIKALNO-KEMIJSKE LASTNOSTI		VIRI
	molska masa (g/mol)	250.27	43
	pKa	7.64	43
	topnost v vodi (mg/L)	1000–1100	87, 12, 88
	logK <sub>ow</sub> (mL/g)	1.65	43
	logK <sub>oc</sub> (mg/L)	3.5	88
	AO <sub>t1/2</sub> (dni)	0.368	43
	BCF (kg/L)	3.54	43
	BAF (kg/L)	3.35	43

Preglednica XXXIX: Strukturna formula in fizikalno-kemijske lastnosti BPZ

BPZ	FIZIKALNO-KEMIJSKE LASTNOSTI	VIRI
	molska masa (g/mol)	268.35
	pKa	9.97
	topnost v vodi (mg/L)	ni na voljo
	logK <sub>ow</sub> (mL/g)	5.00
	logK <sub>oc</sub> (mg/L)	ni na voljo
	AO <sub>t1/2</sub> (dni)	0.062
	BCF (kg/L)	271
	BAF (kg/L)	271